### port- und Präventivmedizin

EXCERPTIAUSZUG Dr. Ralph Schomaker & Dr. Andreas Greiwing

## piroergometrie-Führerschein Theorie

Exklusives Begleitbuch zum Theoriekurs Spiroergometrie

4. vollständig überarbeitete und erweiterte Auflage



#### Willkommen zum Spiroergometrie-Führerschein Theorie!

Seit über 10 Jahren vermitteln unsere zertifizierten Spiroergometriekurse die theoretischen Grundlagen und praktischen Fertigkeiten, um in Klinik und Praxis sport- und präventivmedizinisch standardisiert untersuchen und eine sichere Befundung aus der 9-Feldergrafik nach Wasserman herleiten zu können.

**Unser Konzept des "Spiroergometrie-Führerscheins"** bedeutet eine exakte Fokussierung der Kurse auf anwenderbezogenes beratungsrelevantes Praxiswissen anhand aktuellster Studien und Leitlinien aus Sportmedizin, Kardiologie, Pneumologie, Trainings- und Ernährungswissenschaft!

Im Mittelpunkt stehen Ihr Gewinn von Sicherheit in der Anwendung der Spiroergometrie und ein maximaler Informationsgewinn aus der Auswertung der 9-Feldergrafik nach Wasserman.

Der Wert jeder Fortbildung misst sich am Wissen, welches man unmittelbar nach Kursteilnahme in den eigenen Praxisalltag integrieren kann. Unsere Kurse bieten Ihnen eine optimal auf den Beratungsalltag abgestimmte Synthese aus sportmedizinischem Grundlagenwissen und hochaktueller Trainings- und Ernährungswissenschaft um Sie topfit im sport- und präventivmedizinischen Beratungsalltag von Sportlern und Patienten zu machen!

Der "Spiroergometrie-Führerschein Theorie" vermittelt Einsteigern und erfahrenen Anwendern an zwei Kurstagen die Grundlagen zum klaren Verständnis der Spiroergometrie und baut darauf einen standardisierten Algorithmus zur Auswertung der 9-Feldergrafik nach Wasserman auf. Jede Grafik wird anhand von sieben Fragen analysiert und in acht Schritten die ventilatorischen Schwellen sicher bestimmt. Die Anwendung des erlernten Algorithmus zur Interpretation der 9-Feldergrafik wird anhand von Testbeispielen aus der Praxis wiederholt und eingeübt. In Exkursen werden Trainingsempfehlungen für gesunde und Kranke, Grundlagen der Laktatmessung, begleitende Ernährungsempfehlungen ("low carb" & Ausdauertraining) sowie Interpretationhilfen für EKG und Blutdruck unter Ergometriebedingungen angesprochen. Neben Kontraindikationen, Abbruch- und Ausbelastungskriterien runden Empfehlungen zu Aufklärung und zum Befundbericht den Kurs ab.

Wir wünschen Ihnen erfolgreiche Kurstage und hoffen, dass Ihnen das vorliegende Kursbuch mit den Präsentationen aus dem Kurs eine wertvolle Hilfe bei der Vertiefung und Repetition der Kursinhalte im Praxisalltag ist

#### Ihre Referenten



Dr. med. Ralph Schomaker



Dr. phil. Andreas Greiwing



## INHALTSVERZEICHNIS ZUM BEGLEITBUCH "SPIROERGOMETRIE-FÜHRERSCHEIN THEORIE"

| 1. | Einführung: Spiroergometrie in der Sportmedizin  | 6        |
|----|--|----------|
|    | a. Was ist Spiroergometrie?  | 7        |
|    | I. Gemessene und berechnete Datenkanäle  | 8        |
|    | II. Ergometrieformen Und Ergometrieprotokolle  | 9        |
|    |  |          |
|    | b. Das Zahnradmodell nach Wasserman  | 12       |
|    | c. Das dritte Zahnrad nach Wasserman: die Muskulatur   | 15       |
|    | I. Muskuläre Energiebereitstellung   | 15       |
|    | II. Zonenbasierte Trainingszonenmodelle ("range-based")  | 16       |
|    |  |          |
|    | d. Ventilatorische Schwellen   | 18       |
|    | I. Ventilatorische und laktatbasierte Schwellenmodelle: "VT 1+2", "LT 1+2"   | 18       |
|    | II. Darstellung ventilatorischer Schwellen als Atemantriebe in spiroergometriebasierten Datenkanälen                                 | 20       |
|    | III. Standardisierte Bestimmung von VT1 und VT2 (Übersicht)  | 22       |
|    | e. Trainingszonen basierend auf ventilatorischen Schwellen   | 23       |
|    | I. Dreizoniges schwellenbasiertes Trainingszonenmodell ("threshold-based")   | 23       |
|    | II. Borg Skala (RPE)   | 24       |
|    | III. Polarized Training Model & "black hole of training intensity"   | 25       |
|    | IV. Transfer trainingswissenschaftlicher Trainingszonenkonzepte in kardiologische und pneumologische                                 | 27       |
|    | Prävention, Therapie und Rehabilitation  |          |
|    | V. VT1: atemfrequenzbasierte Trainingssteuerung – "Laufen ohne zu Schnaufen"   | 31       |
|    | f. Indikationen, Kontraindikationen und Komplikationen   | 33       |
|    | I. Praetest-Kriterien und Testindikationen   | 33       |
|    | II. Vorbeugung von Untersuchungskomplikationen   | 34       |
|    | III. Kontraindikationen und Abbruchkriterien   | 35       |
|    | IV. Ausbelastungskriterien und Komplikationen  | 37       |
| 2. | Standardisierte Auswertung der 9Feldergrafik nach Wasserman  | 41       |
|    |  |          |
|    | a. Die 9Feldergrafik nach Wasserman – Grundlage zur "Blickdiagnose"  | 41       |
|    | <ol> <li>Datenmittelung, Zuordnung der 9Felder, "customizing" der 9Feldergrafik</li> <li>Normwerte in der Spiroergometrie</li> </ol> | 42<br>45 |
|    | 1. Normwerte in der Sprioergometrie  | 46       |
|    | 2. Studienbasierte Normwerte   | 48       |
|    | 3. Slopes  | 50       |
|    | 4. Übersicht: Standardalgorhythmus zur Interpretation  | 52       |
|    | b. Schritt 1.1: FELD 3 - V'02(P)-Slope; V'02Peak oder Max?   | 53       |
|    | I Pitfall "crossing method" → RER=1 ist keine Schwelle!  | 54       |
|    | II. Die Kurve von V' $O_2$ gegen die Last: V' $O_2$ (P)-Slope [ $\Delta O_2/\Delta W$ att]   | 56       |
|    | 2 2 2 2 3 2 3 2 3 2 3 3 3 3 3 3 3 3 3 3  |          |
|    | Fallbeispiel I: Dilatative Kardiomyopathie nach Chemotherapie  | 59       |
|    | III. "Double Slope Sign" nach Belardinelli und [V`E/V`CO2]/ rel V`O2 peak nach Rozenbaum   | 60       |
|    | IV. Maximale Last (Pmax) und V'O <sub>2</sub> max  | 62       |
|    | 1. Sollwerte für Pmax und V`O₂max  | 62       |
|    | 2. Plateaubildung von V'O <sub>2</sub> und "Slow Component of Oxygen Consumption"  | 65       |
|    | 3. Die relative gewichtsbezogene V'O <sub>2</sub> max und allometrische Konvertierung  | 67       |
|    | EXKURS I: V'O₂max, Sport und Lebenserwartung   | 69       |
|    | 4. Das MET (Metabolic Equivalent of Task)  | 74       |
|    | ENVIDE II OUEC O II + 1 ECC.   | 0.1      |
|    | EXKURS II: OUES – Oxygen Uptake Efficiancy Slope   | 81       |
|    | c. Schritt 2: FELD 8 – Substratutilisation: Fett oder Kohlenhydrat?  | 82       |
|    | I. RQ, RER und kalorisches Äquivalent  | 83       |
|    | II. Indirekte Kalorimetrie, Grund- und Ruheumsatzmessung   | 86       |
|    | III. Proteinkatabolismus und BCAA als Nahrungsergänzung  | 90       |
|    | Fallbeispiel II: Langstreckenläufer mit extremem Trainingsumfang   | 91       |
|    |  |          |
|    | IV. Mean Response Time [MRT], "Oxygen Delay"   | 93       |

| d. Sc | hritt 3: FELD 5 – VT1-Bestimmung   | 96         |
|-------|--|------------|
|       | I. Definitionen und Bestimmung von VT1   | 97         |
|       | 1. Feld 5 → V-Slope nach Beaver  | 99         |
|       | 2. Feld 6 →↑EQO <sub>2</sub> 3. Feld 9 → ↑PetO <sub>2</sub>                                    | 99         |
|       | 4. Funktion Excess CO <sub>2</sub> nach Volkov   | 100<br>100 |
|       | 5. Feld 1 → ↑V E   | 101        |
|       | 6. Feld 8 → ↓Plateau FatOx   | 102        |
|       | 7. Feld 7 $\rightarrow$ †Atemfrequenz  | 103        |
|       | 8. Laktat → ≈2mmol/l oder >+0,5mmol/l  | 103        |
| Exku  | rs III: Laktatmessung  | 104        |
| Exku  | rs IV: Bikarbonat als Nahrungsergänzung  | 109        |
| e.    | Schritt 4: FELD 6 – Atemökonomie, Spiegel der Totraumventilation                               | 109        |
| f.    | Schritt 5: FELD 4 - V`E-Slope: Hyper- oder Hypoventilation?                                    | 111        |
| •     | I. Definitionen und Bestimmung von VT2   | 112        |
|       | 1. Feld 4 → V E-Slope nach Whipp   | 113        |
|       | 2. Feld $6 \rightarrow \uparrow EQCO_2$  | 114        |
|       | 3. Feld 9 $\rightarrow \downarrow$ PetCO <sub>2</sub>  | 114        |
|       | 4. Feld 5 $\rightarrow$ 1 1V-Slope   | 115        |
|       | 5. Feld 1 → ↑↑V'E  | 115        |
|       | 6. Feld 8 → ØFatOx   | 116        |
|       | II. Steuerung der Fettoxidation durch Laktat und Insulin                                       | 117        |
| Fallb | eispiel III: Breitensportler unter Ausdauertraining und "Low Carb"                             | 119        |
| EXKL  | IRS V: "Low Carb" & Insulinresistenz   | 122        |
| Fallb | eispiel IV: Triathlet unter ketogener Ernährung  | 126        |
| Exku  | rs VI: Ketogene Ernährung  | 127        |
| Exku  | rs VII: Sport und Gewichtsreduktion – "Jeder Gang macht schlank?" + Female Athlete Triad       | 131        |
|       | 7. Feld 7 → ↑↑Atemfrequenz<br>8. Laktat → ≈4mmol/I   | 136<br>137 |
| Fallb | eispiel V: Undine Syndrom  | 137        |
| g.    | Schritt 6: Feld 2 – O <sub>2</sub> -Puls, Herzfrequenzreserve und Herzfrequenzerholung         | 138        |
| ,     | I. Heart Rate Reserve und Heart Rate Recovery II. Cardiac Drift und Conconi-"Schwelle"         | 140<br>142 |
| Exku  | rs VIII: VT1 und Marathongeschwindigkeit "from lab to field"                                   | 141        |
| Fallb | eispiel 6: Marathonläufer mit Zielzeitwunsch   | 143        |
| EXKL  | IRS IX: Belastungs-EKG und Ergometrie 1  | 147        |
| Fallb | eispiel 7: Triathlet mit R-Zacken-Artefakten unter Laufbandergometrie                          | 154        |
| Fallb | eispiel 8: Breitensportler mit chronotroper Inkompetenz  | 156        |
| EXKL  | IRS IX: Belastungs-EKG und Ergometrie 2  | 157        |
| Fallb | eispiel 9: Seniorensportler mit salvenartiger Vorhoftachykardie                                | 159        |
| EXKL  | IRS IX: Belastungs-EKG und Ergometrie 3  | 161        |
| Fallb | eispiel 10: Nichtsportler mit KHK (LAD- und Marginalaststenose LCX)                            | 162        |
| EXKL  | IRS X: Blutdruckmessung unter Ergometriebedingungen  | 164        |
|       | III. Ergometrievariablen und Grenzwerte zur diagnostischen Abklärung (AHA, EACPR Empfehlungen) | 169        |
| Fallb | eispiel 11: Nichtsportler mit KHK und ACVB-Indikation vor Bypass-OP                            | 170        |

|    | I. FEV1, MVV und Atemreserve II. Die "Neunerregel" nach Rühle                                 | 175<br>176 |
|----|---|------------|
|    | Fallbeispiel 12: Nichtsportler mit COPD   | 177        |
|    | i. Schritt 8: Feld 7 – Atemmuster: Obstruktion oder Restriktion?                              | 180        |
|    | EXKURS XII: EIB und Intrabreathkurven   | 181        |
|    | Fallbeispiel 13: Ausdauerläufer mit COPD / Abklärung Exercise Induced Bronchoconstriction EIB | 181        |
|    | Fallbeispiel 14: Leistungstriathlet mit auffälligem Atemmuster                                | 185        |
|    | Fallbeispiel 15: Ausdauerläufer mit Kopplung der Atem- an die Schrittfrequenz                 | 186        |
|    | EXKURS XIII: Atem- und Schrittfrequenz bei Bipeden und Quadrupeden                            | 187        |
|    | Fallbeispiel 16: Ausdauerläufer mit auffälligem Atemmuster                                    | 188        |
|    | j. Schritt 9: Feld 9 – Gasaustausch   | 189        |
|    | Fallbeispiel 17: Nichtsportler mit Alpha-1-Antitrypsinmangel                                  | 191        |
| 3. | Dyspnoeabklärung in der Praxis: Herz oder Lunge?  | 195        |
|    | a. Befundungshilfen zur Dyspnoediagnostik: Herz, Lunge oder Trainingsmangel?                  | 196        |
|    | b. Spiroergometriebasierte Risiko- und Prognoseabschätzung bei Herzinsuffizienz               | 199        |
| 4. | Befundung eines ReTests, interindividuelle Verlaufsbeurteilung                                | 200        |
|    |   |            |



Theoriekurs

#### WELCHE INFORMATIONEN LIEFERT DIE SPIROERGOMETRIE?

→ <u>Vereinfachter</u> Überblick der auszuwertenden Datenkanäle

#### Was ist Spiroergometrie?

Wasserman's Gearmodel

Das dritte Zahnrad

Ventilatorische Schwellen

Trainingszonen

Indikationen, Kontraindikationen, Komplikationen



Dr. Schomaker & Dr. Greiwing

Volumensensor

≈ "schwarze Leitung"

**VT** = Atemzugvolumen

**AF** = Atemfrequenz

VT x AF = V`E (Atemminutenvolumen)

#### **Absaugstrecke**

≈ ,, transparente Leitung"

 $V^{\circ}O_2 = O_2$ -Aufnahme / min

V'CO<sub>2</sub> = CO<sub>2</sub>-Abgabe / min

RER = V`CO<sub>2</sub>/V`O<sub>2</sub>

#### Zusatzinformationen:

- **EKG / Brustgurt**
- Herzfrequenz [HF]
- Ergometer
- Last [Laufband: km/h; Radergometer: Watt1
- Die gemessenen Werte für V'O₂ und V'CO₂ hängen wesentlich von den "Endverbrauchern" (≈ unter der gewählten Ergometrieform beanspruchten Muskelgruppen) ab, die am Messsystem hängen
- Die beanspruchten Muskelgruppen werden durch die gewählte Ergometrieform festgelegt
- Ergometrieform und ergometriebezogener Trainingszustand bestimmen, ob vor dem Erreichen der kardiovaskulären Ausbelastung eine lokale muskuläre Leistungsbegrenzung den Test beendet

2006 Hollmann W et al., "Spiroergometrie – Kardiopulmonale Leistungsdiagnostik des Gesunden und Kranken" (1st Ed.), Schattauer Verlag, S. 110-115

### Spiroergometrie in der **Sportmedizin**

Theoriekurs

#### ROHDATEN & BERECHNETE DATENKANÄLE

ightarrow DetailLierte Darstellung gemessener und berechneter Datenkanäle

#### Was ist Spiroergometrie?

Wasserman's Gearmodel

Das dritte Zahnrad

Ventilatorische Schwellen

Trainingszonen

Indikationen, Kontraindikationen, Komplikationen



Dr. Schomaker & Dr. Greiwing



Modifiziert nach 2018 Meyer FJ et al. Belastungsuntersuchungen in der Pneumologie – Empfehlungen der Deutschen Gesellschaft für Pneumologie und Beatmungsmedizin e.V.2018; 72: 687-731, Tabelle 10

### Gemessene Kanäle

Volumensensor

Volumen und Dauer eines Atemzuges [V`(t), T]

> $VT = \int V'(t) dt$ [=Integral über Flow(t)]

Atemfrequenz AF [1/T (min)]

<u>Absaugstrecke</u>

FletO<sub>2</sub>, FletCO<sub>2</sub>

FEetO<sub>2</sub>, FEetCO<sub>2</sub>

( **E**=Exspiration, **I**=Inspiration, et=endtidal)

- **EKG / Brustgurt**
- Herzfrequenz [HF]
- Ergometer
- Last [Laufband: km/h; Radergometer: Watt]

### Berechnete Kanäle

- **V`E** = VT \* AF
- $V^{\circ}O_2 = V^{\circ}E (FIO_2 FEO_2)$  $\rightarrow$ [Mischkammer]
- V'CO<sub>2</sub> = V'E (FECO<sub>2</sub> - $\rightarrow$ [Mischkammer]
- $RER = V^{\circ}CO_2 / V^{\circ}O_2$
- **EQ O<sub>2</sub>** = V`E / V`O<sub>2</sub>
- EQ  $CO_2 = V^E / V^CO_2$
- $O_2$ -Puls =  $V^O_2$  / HF
- PetO<sub>2</sub> = berechnet aus FEetO<sub>2</sub>
- PetCO<sub>2</sub> = berechnet aus FEetCO<sub>2</sub>
- Atemreserve (BR)

→ Die Berechnungsformeln hängen von der verwendeten Messtechnik ab [Mischkammersysteme, BxB = "breath-by-breath", etc.]

- Ein Auswahl gemessener und berechneter Kanäle wird in der 9-Feldergrafik nach Wasserman gegeneinander aufgetragen → V'O<sub>2</sub>, PetO<sub>2</sub>, V'CO<sub>2</sub>, PetCO<sub>2</sub>, V'E, VT, O<sub>2</sub>-Puls, HF, Last, ggf. Laktat
- Die Darstellung in Form von "slopes" ermöglicht es auf einen Blick dysproportionale Abweichungen verschiedener Messgrößen gegeneinander zu erkennen
- Einzelne Kanäle werden gegen die Zeit als Linie während verschiedene Volumina gegeneinander als Punkte ("BxB"-messung) dargestellt

**Theoriekurs** 

#### Was ist Spiroergometrie?

Wasserman's Gearmodel

Das dritte Zahnrad

Ventilatorische Schwellen

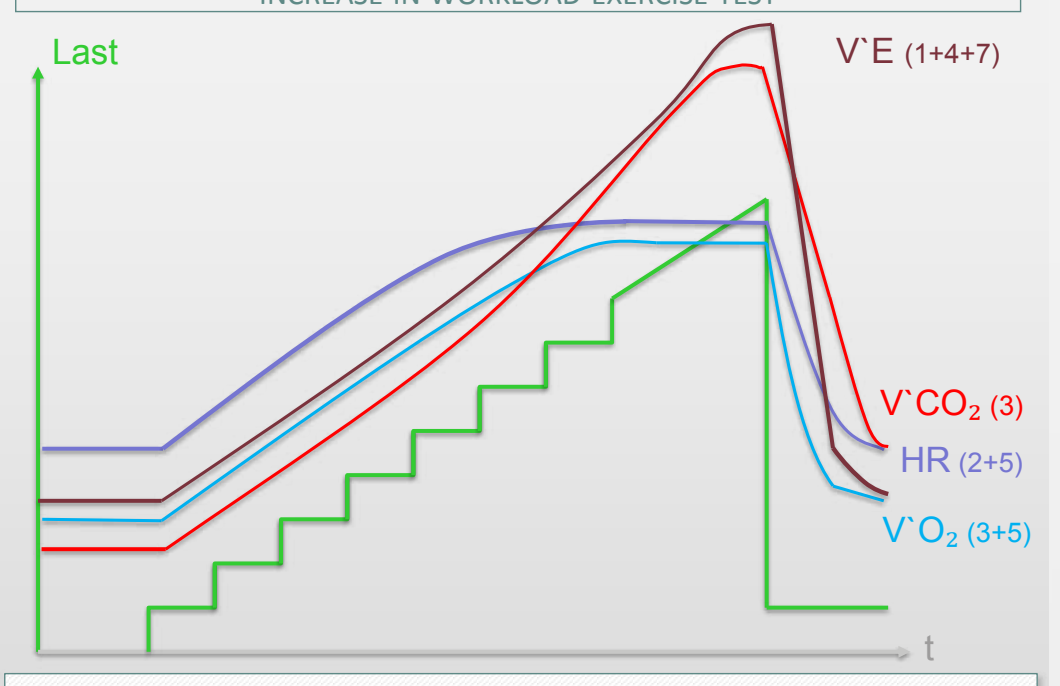
Trainingszonen

Indikationen, Kontraindikationen, Komplikationen



Dr. Schomaker & Dr. Greiwing

## PHYSIOLOGICAL AND VENTILATORY RESPONSES TO A PROGRESSIVE INCREASE IN WORKLOAD EXERCISE TEST



#### Empfehlungen der AG Spiroergometrie zu farblichen Darstellung:

V`E: braun, V`O<sub>2</sub>: mittelblau, V`CO<sub>2</sub>: rot, HR: violett, O<sub>2</sub>-Puls: hellblau, Zeit: grau, Last: grün. <u>In Klammern die zugehörigen Felder der 9-Feldergrafik</u>

Modifiziert nach 2005 Wasserman K, Hansen JE, Sue DY, Stringer WW, Whipp BJ "Principles of exercise testing and interpretation" S. 34, Fig. 2.29

Modifiziert nach 2013 Raven PB, Wasserman DH, Squires WG, Tinker DM "Exercise Physiology – an integrated approach", S. 348, Fig. 10.11

#### Spiroergometrie in der Sportmedizin Theoriekurs

#### Was ist Spiroergometrie?

Wasserman's Gearmodel

Das dritte Zahnrad

Ventilatorische Schwellen

Trainingszonen

Indikationen, Kontraindikationen, Komplikationen



Dr. Schomaker & Dr. Greiwing

#### LAUFBANDERGOMETRIE: LAUFTRAININGSPULS ≠ RADPULS + 20 SCHLÄGE?





- ✓ Röcker et al. (n=371) stellen signifikante Abweichungen der HR an VT1 zum Wert "+20Schläge für Laufband" versus Radergometer fest [keine Korrelation bei 4mmol/l]; die Durchführung von Rad- und Laufbandtest wird anstelle einer formelbasierten Schätzungen (wie z.B.: Radpuls PLUS 20 = Laufpuls) empfohlen
- ✓ Formel zur Abschätzung der Ergometeräquivalentleistung in Watt (Fa. Woodway):
  - $P = (1,065 + 0,0511*g + 9,322*10-4*g^2) *v* BM/4$

[P = workload (W); g = Grade (%), v = Speed (km/h), BM = body mass (kg)]

- $\rightarrow$  WR = (1,065 + 0,0511 \* G + 9,322 \* 10-4 \* G<sup>2</sup>) \* (v \* 3,6) \*mPat/4
- → Alternative: Rückrechnung über V'O₂/RER mittels indirekter Kalorimetrie [1 Kcal/h = 1,1628 Watt]
- ✓ Der mit steigender Geschwindigkeit zunehmende **Luftwiderstand** bei Outdoor-Laufen [→ 7,5% bzw. 13% der Gesamt-V`O₂ l/min bei Mittelstrecken- bzw. Sprintgeschwindigkeit] wird auf dem Laufband über eine **1%-Steigung** während des gesamten Lastverlaufes näherungsweise abgebildet

2003 Roecker K et al., Heart-Rate Recommendations: Transfer Between Running and Cycling Exercise?, Int J Sports Med 2003;24:173-178

1996 Jones AM, A 1% treadmill grade most accurately reflects the energetic cost of outdoor running, *Journal of Sports Sciences*, 1996, 14, 321-327

1971 Pugh LGCE, THE INFLUENCE OF WIND RESISTANCE IN RUNNING ..., J Physiol. 1971;213(2):255-76

Theoriekurs

#### Was ist Spiroergometrie?

Wasserman's Gearmodel

Das dritte Zahnrad

Ventilatorische Schwellen

Trainingszonen

Indikationen, Kontraindikationen, Komplikationen



Dr. Schomaker & Dr. Greiwing

#### **ERGOMETRIEPROTOKOLLE**

- Probandenfitness, Untersuchungsindikation und die gewünschten Informationen bestimmen die Auswahl des Testprotokolls
- ✓ Dauer der Lastphase: Hollmann 2006 "im Allgemeinen 10min"; Löllgen 2009 "8-12min", DGSP 2002 "nicht länger als 15min", Midgley 2008 "5-26min" erlauben valide V`O₂max Verifizierung beim Gesunden
- Rampenprotokoll: kürzere Testdauer, 5-25W/min Laststeigerung
- > Stufenprotokoll (Definition: >1min Stufendauer):
- ✓ ermöglicht die Erfassung "steady state"-abhängiger trainingsrelevanter Parameter (Laktat, Oxygen Delay, HR bei definierten Laststufen) bei vergleichbarer Auswertbarkeit der "slopes" im Vergleich zur Rampe (→ sog. "Ausschneidefunktion" der Software)
  - > Kompromiss "steady state": zwischen wissenschaftl. Anspruch und Machbarkeit
    - Spiroergometrie: Wahlund 1948: 6min; Hollmann&Venrath 1955, Blohmke 1996: 3min (seit den 1950er Jahren bis heute an der SpoHo etabliert)
    - <u>Laktat</u>: signifikanter Anstieg >0,5mmol/l bei <u>3min</u>-Stufen, Mader 1967: 5min Stufen MaxLass
  - Inkremente (= Lastanstieg pro Stufe)
    - Laufband: 1km/h (Nonathlete), 2km/h (Athlete); Steigung 1%, +30s "Pause" zum Stufenende für: Laktatabnahme, RR-Messung, Kurvenmorphologie EKG
    - ➤ Fahrradergometer: 20Watt BDR-Protokoll (Bund Deutscher Radfahrer) und Beginn bei 80W bzw. 100W; 25 Watt (DGSP) Beginn bei 25W, 50W, 100W

2018 Meyer FJ et al. Belastungsuntersuchungen in der Pneumologie – Empfehlungen der Deutschen Gesellschaft für Pneumologie und Beatmungsmedizin e.V.2018; 72: 687–731

2006 Hollmann W et al, "Spiroergometrie – Kardiopulmonale Leistungsdiagnostik des Gesunden und Kranken" (1st Ed.), Schattauer Verlag, S. 59

2009 Löllgen H et al, Ergometrie: Belastungsuntersuchungen in Klinik und Praxis, 3. Auflage, Springer Verlag, ISBN-13: 978-3540927297

### Spiroergometrie in der Sportmedizin

Theoriekurs

Was ist Spiroergometrie?

Wasserman's Gearmodel

Das dritte Zahnrad

Ventilatorische Schwellen

Trainingszonen

Indikationen, Kontraindikationen, Komplikationen



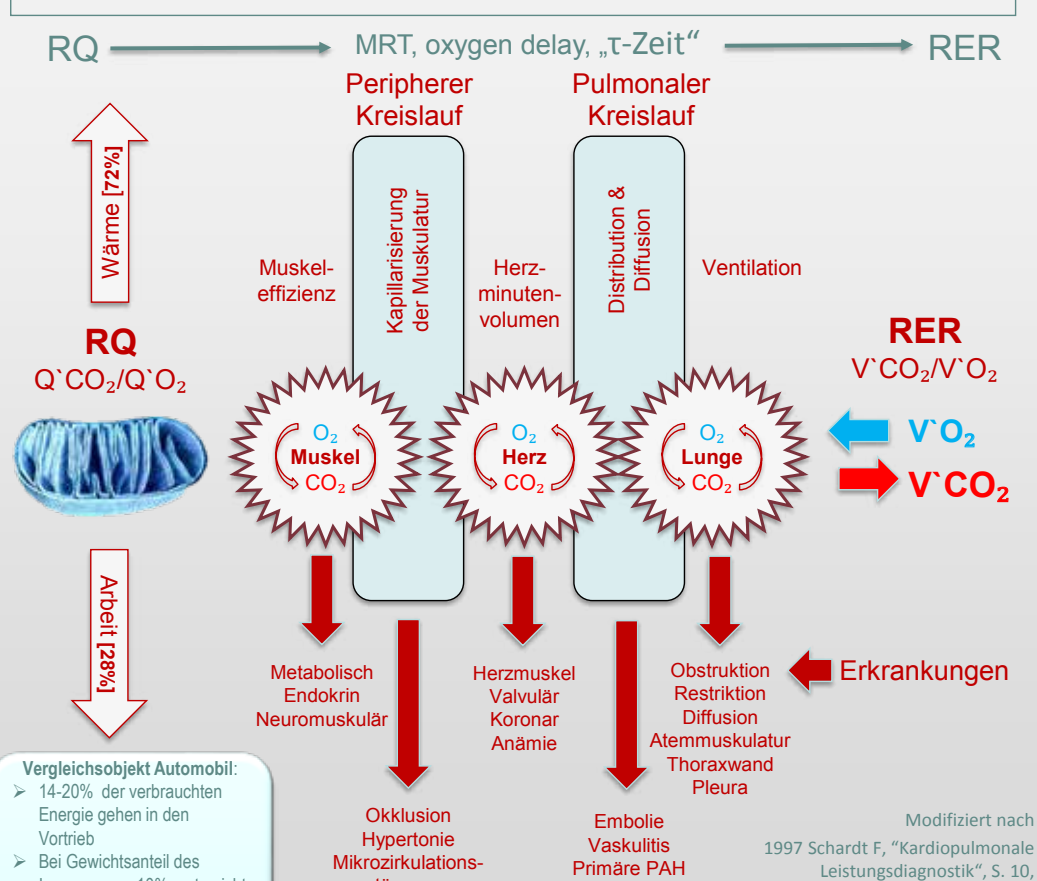
Dr. Schomaker & Dr. Greiwing

Insassen von 10% entspricht

dies einer Energieeffizienz

von ca. 1,5%

## Wasserman's Gearmodel (1965)



modifiziert nach Wassermann K et al., "Principles

of Exercise Testing and Interpretation", 4th Ed.

2005, S. 57 & 112

störungen

Theoriekurs

### WELCHES ZAHNRAD IST AUSDAUERLEISTUNGSBEGRENZEND?

|               | Schlagvolumen in Ruhe | HZV in<br>Ruhe | Max. Schlagvolumen unter Belastung | HZVmax unter<br>Belastung |
|---------------|-----------------------|----------------|------------------------------------|---------------------------|
| Nichtsportler | 60-80ml               | 5-61           | 120ml                              | 20-251                    |
| Sportler      | 60-80ml               | 5-61           | 200ml                              | >401                      |

Was ist Spiroergometrie?

Wasserman's Gearmodel

Das dritte Zahnrad

Ventilatorische Schwellen

Trainingszonen

Indikationen, Kontraindikationen, Komplikationen



Dr. Schomaker & Dr. Greiwing

www.spiroergometrie-kurs.de

#### Die V'O₂max gilt als Hauptkriterium für die Ausdauerleistungsfähigkeit

- ➢ Als limitierender Faktor der V`O₂max beim gesunden trainierten Breitensportler und Laufbandergometrie gilt das Herzzeitvolumen
  - Das Schlagvolumen bildet ein Plateau bei ≈ 50% von V'O₂max
  - ➢ Eine HZV-Steigerung oberhalb von 50% V'O₂max basiert weitestgehend auf einer Steigerung der Herzfrequenz
- ✓ Eine gesunde <u>Lunge</u> ist beim Breitensportler auf Meeresspiegelhöhe (bzw. >3000m Höhe) keine leistungslimitierende Größe. Bei Elitesoldaten unter maximalem HZW wurden pulmonale Limitationen beobachtet, die auf eine zu kurze Gasaustauschzeit zurückzuführen sind, diese pulmonalen Limitationen konnten durch eine Erhöhung des O₂-Anteils (20,95% auf 26%) in der Einatemluft umgangen werden
- ✓ Die Möglichkeiten unserer <u>Muskulatur</u> zur Verarbeitung des Blutes liegen **2-3x über der maximalen Pumpleistung** des Herzens
  - Im Falle eines Trainingsmangels v.a. bei Ergometrieformen, die kleine Muskelgruppen beanspruchen (Handkurbelarbeit im Stehen, Fahrradergometrie) kann die oxidative Kapazität der beanspruchten Muskulatur der leistungsbegrenzende Faktor sein

2020 Berrisch-Rahmel S, Rost C, Stumpf C, Sportherz und Herzsport: Empfehlungen für die sportkardiologische Praxis, Thieme Verlag, ISBN-13: 978-3131751010

2020 Xiao J, Physical Exercise for Human Health (Advances in Experimental Medicine and Biology (1228), Band 1228), Springer Verlag, ISBN-13: 978-9811517914, S. 6

2000 Bassett DR, Howley ET, Limiting factors for maximum oxygen uptake and determinants of endurance performance, Med Sci Sports Exerc 2000 Jan;32(1):70-84

#### Spiroergometrie in der Sportmedizin Theoriekurs

meonekurs

Was ist Spiroergometrie?

Wasserman's Gearmodel

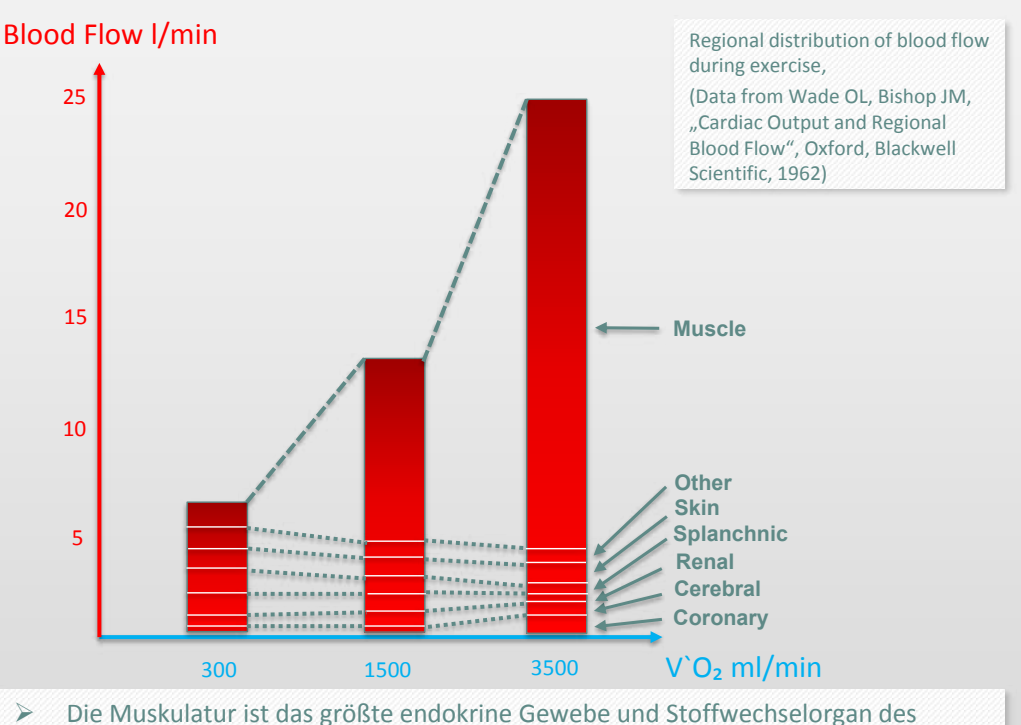
Das dritte Zahnrad

Ventilatorische Schwellen

Trainingszonen

Indikationen, Kontraindikationen, Komplikationen

# REGIONALE VERTEILUNG DES HERZMINUTENVOLUMENS UNTER KÖRPERLICHER BELASTUNG



10kg Muskelmasse führen zu durchschnittlich 100Kcal tägl. Energieumsatz in Ruhe

Menschen und von zentraler Bedeutung in der Genese des MetS

- SPIROERGOMETRIE KURS
- www.spiroergometrie-kurs.de 1997 Jones NL, "

2006 Wolfe R, "The underappreciated role of muscle in health and disease"

1997 Jones NL, "Clinical Exercise Testing"

(dies entspricht etwa 4,7kg Fettmasse/Jahr)

Dr. Schomaker & Dr. Greiwing S. 33

#### Spiroergometrie in der Sportmedizin Theoriekurs

Was ist Spiroergometrie?

Wasserman's Gearmodel

Das dritte Zahnrad

Ventilatorische Schwellen

Trainingszonen

Indikationen, Kontraindikationen, Komplikationen



Spiroergometrie in der

Sportmedizin Theoriekurs

Was ist Spiroergometrie?

Wasserman's Gearmodel

Das dritte Zahnrad

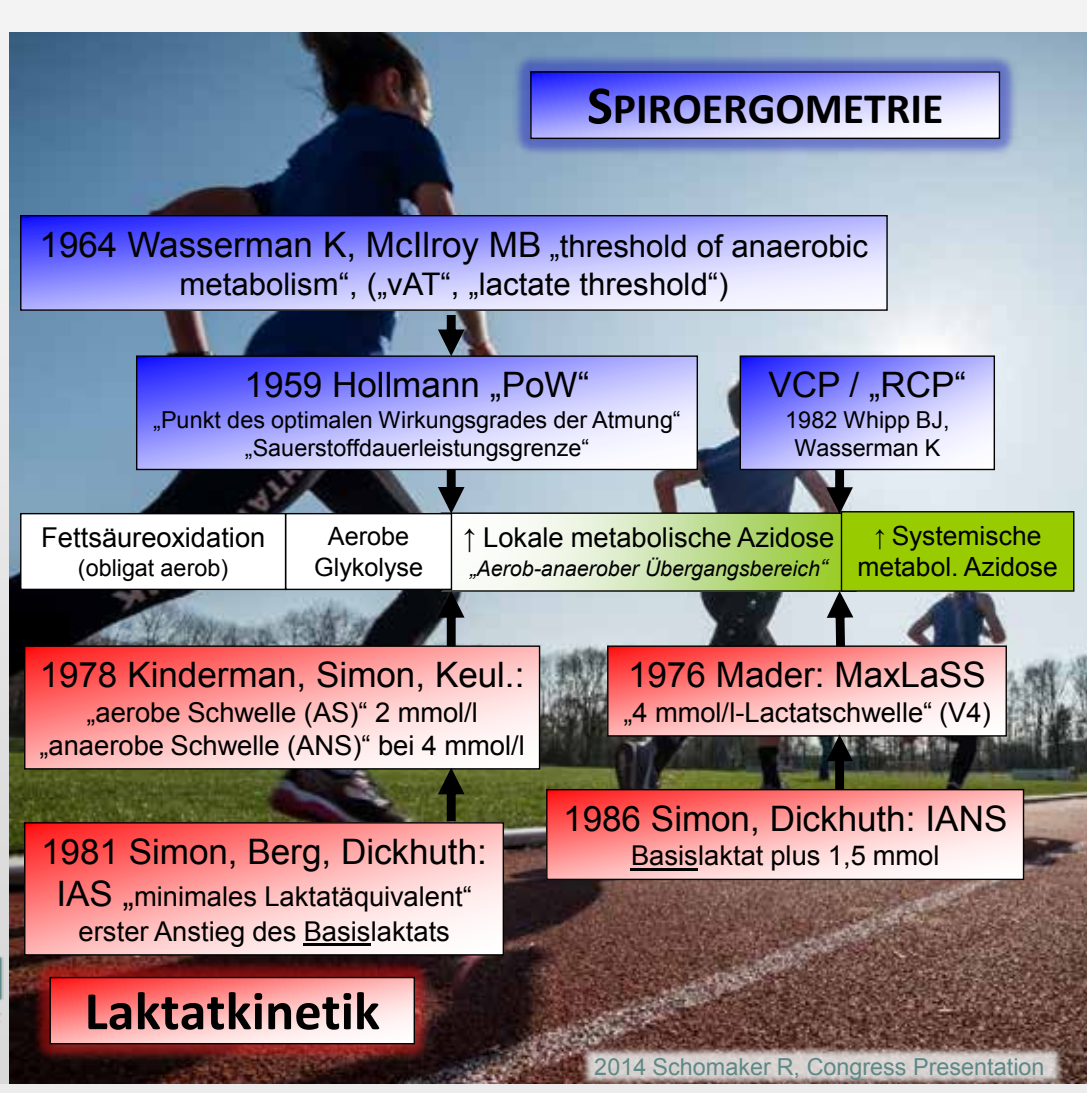
Ventilatorische Schwellen

Trainingszonen

Indikationen, Kontraindikationen, Komplikationen



Dr. Schomaker & Dr. Greiwing





Theoriekurs

### ANTEIL ANAEROBER ENERGIEBEREITSTELLUNG

IN ABHÄNGIGKEIT VON BELASTUNGSINTENSITÄT UND BELASTUNGSDAUER

Was ist Spiroergometrie?

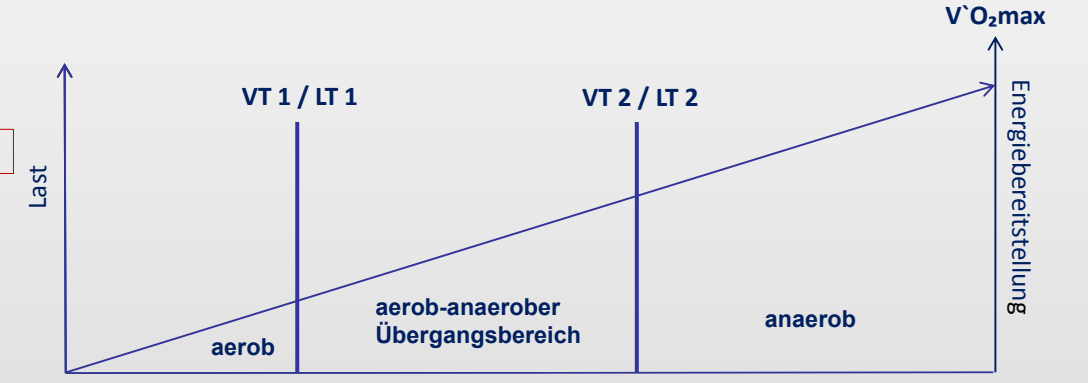
Wasserman's Gearmodel

Das dritte Zahnrad

Ventilatorische Schwellen

Trainingszonen

Indikationen, Kontraindikationen, Komplikationen → Veraltete Darstellung nach 1978 Kindermann W, Metabolic acidosis. Its significance under physiological and pathological conditions, deutschsprachiger Artikel, Fortschr. Med. 1978 Feb 2;96(5):221-6.





| % anaerob 90 80 70 50 35 15 5 2 1         | da  | uer     |    |    |    |    |    |    |    |    |    |
|---|-----|---------|----|----|----|----|----|----|----|----|----|
|   | % : | anaerob | 90 | 80 | 70 | 50 | 35 | 15 | 5  | 2  | 1  |
| <b>% aerob</b> 10 20 30 50 65 85 95 98 99 | % : | aerob   | 10 | 20 | 30 | 50 | 65 | 85 | 95 | 98 | 99 |

Belastungs- 10s 30s 60s 2min 4min 10min 30min 60min 120min

Abbildung modifiziert nach 1978 Kindermann W, Metabolic acidosis. Its significance under physiological and pathological conditions, deutschsprachiger Artikel, Fortschr. Med. 1978 Feb 2;96(5):221-6.

Tabelle: 2015 McArdle WD, Katch FI, Katch VL, Exercise Physiology, 8th Ed., p. 169, Fig 7.7

Spiroergometrie in der Sportmedizin

Theoriekurs

#### ANTEIL ANAEROBER ENERGIEBEREITSTELLUNG

IN ABHÄNGIGKEIT VON BELASTUNGSINTENSITÄT UND BELASTUNGSDAUER

Was ist Spiroergometrie?

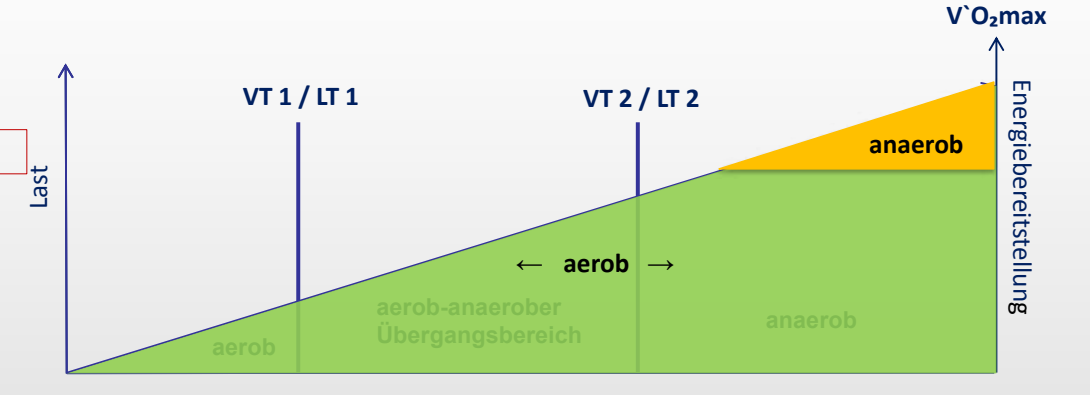
Wasserman's Gearmodel

Das dritte Zahnrad

Ventilatorische Schwellen

Trainingszonen

Indikationen, Kontraindikationen, Komplikationen





| Belastungs-<br>dauer | 10s | 30s | 60s | 2min | 4min | 10min | 30min | 60min | 120min |
|----------------------|-----|-----|-----|------|------|-------|-------|-------|--------|
| % anaerob            | 90  | 80  | 70  | 50   | 35   | 15    | 5     | 2     | 1      |
| % aerob              | 10  | 20  | 30  | 50   | 65   | 85    | 95    | 98    | 99     |

Abbildung modifiziert nach 1978 Kindermann W, Metabolic acidosis. Its significance under physiological and pathological conditions, deutschsprachiger Artikel, Fortschr. Med. 1978 Feb 2;96(5):221-6.

Tabelle: 2015 McArdle WD, Katch FI, Katch VL, Exercise Physiology, 8th Ed., p. 169, Fig 7.7

**Theoriekurs** 

#### Was ist Spiroergometrie?

Wasserman's Gearmodel

Das dritte Zahnrad

#### Ventilatorische Schwellen

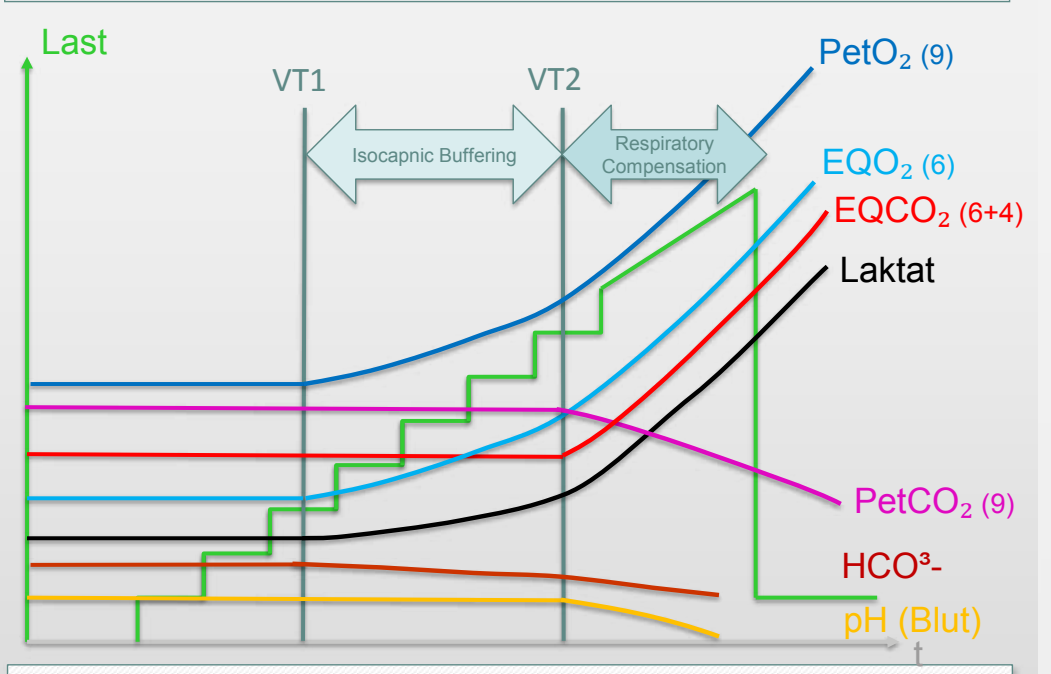
Trainingszonen

Indikationen, Kontraindikationen, Komplikationen



Dr. Schomaker & Dr. Greiwing

## PHYSIOLOGICAL AND VENTILATORY RESPONSES TO A PROGRESSIVE INCREASE IN WORKLOAD EXERCISE TEST



Empfehlungen der AG Spiroergometrie zu farblichen Darstellung:

Pet O<sub>2</sub>: dunkelblau, Pet CO<sub>2</sub>: magenta, EQO<sub>2</sub>: wie V'O<sub>2</sub>, EQCO<sub>2</sub>: wie V'CO<sub>2</sub>. Ergänzt: Laktat; schwarz, HCO<sup>3</sup>-: bordeaux, ph(Blut): orange

Modifiziert nach 2005 Wasserman K, Hansen JE, Sue DY, Stringer WW, Whipp BJ, "Principles of exercise testing and interpretation" S. 34, Fig. 2.29

Modifiziert nach 2013 Raven PB, Wasserman DH, Squires WG, Tinker DM, "Exercise Physiology – an integrated approach", S. 348, Fig 10.11

#### Spiroergometrie in der Sportmedizin Theoriekurs

Was ist Spiroergometrie?

Wasserman's Gearmodel

Das dritte Zahnrad

Ventilatorische Schwellen

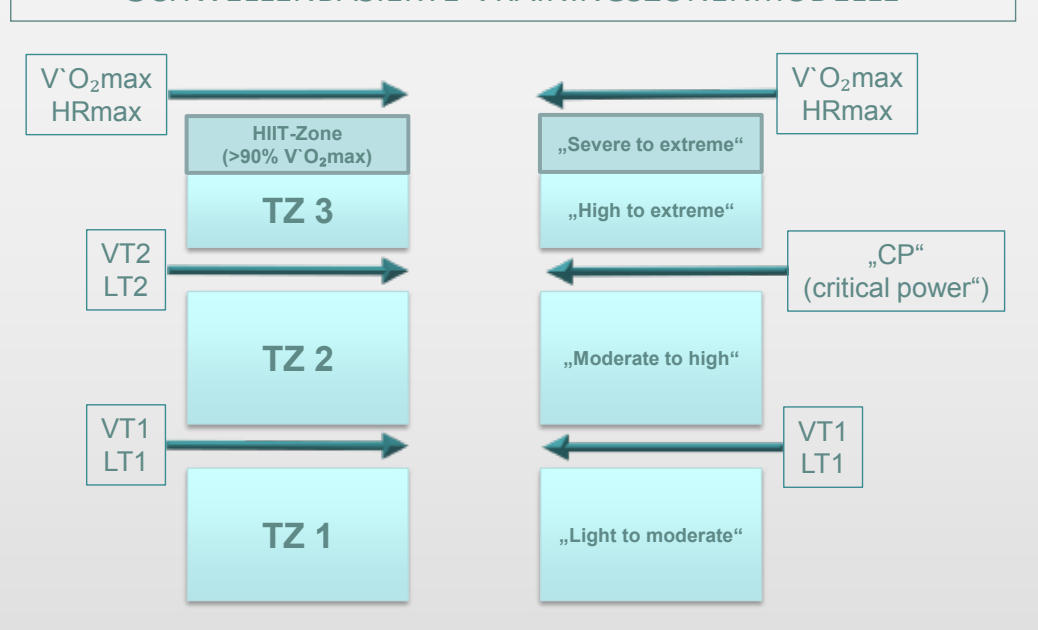
Trainingszonen

Indikationen, Kontraindikationen, Komplikationen



Dr. Schomaker & Dr. Greiwing

### SCHWELLENBASIERTE TRAININGSZONENMODELLE



- Ein "Position Stand" der Amerikanischen, Kanadischen und Europäischen Kardiologischen und Pneumologischen Fachorganisationen empfiehlt ein Training nach ventilatorischen / laktatbasierten Schwellen anstelle "range-basierter" Konzepte (% V`O₂max, % Hrmax, etc.)
- Anstelle der "VT2" wird als "CP" (critical power) diejenige Belastungsintensität definiert, welche gerade noch unter V`O₂- und Laktat-"steady-state" aufrecht erhalten werden kann
- ➤ Es werden evidenzbasierte Trainingsempfehlungen basierend auf den o.g. Trainingszonen bei kardiologischen Krankheitsbildern gegeben (→ nächste Folie)

2006 Seiler KS, Kjerlan G $\phi$ , Quantifying training intensity distribution in elite endurance athletes:is there evidence for an "optimal" distribution?, Scand J Med Sci Sports 2006: 16: 49–56

2012 Mezzani A, Hamm LF et al., "Aerobic exercise intensity assessment and prescription in cardiac rehabilitaion: a joint position statement ..."; European Journal of Preventive Cardiology 20(3) 442-467

#### Spiroergometrie in der Sportmedizin Theoriekurs

### SPIROERGOMETRIE IN DER SPORTMEDIZIN

Was ist Spiroergometrie?

Wasserman's Gearmodel

Das dritte Zahnrad

Ventilatorische Schwellen

Trainingszonen

Indikationen, Kontraindikationen, Komplikationen





### **PAUSE**



Theoriekurs

9-Felder-Grafik

Feld 3 / 8 & Kalorimetrie

Feld 5 & VT1

Feld 6

Feld 4 & VT2

Feld 2

Feld 1

Feld 7

Feld 9

Herz oder Lunge? Befundungshilfen, ReTest



Dr. Schomaker & Dr. Greiwing

### SPIROERGOMETRIE IN DER SPORTMEDIZIN



Standardisierte

### Auswertung der "9-Felder-Grafik"

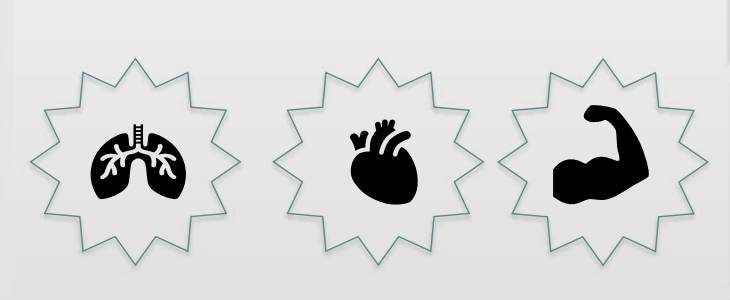
nach Karlman Wasserman (1st Ed., 1978)

in der Sportmedizin

Spiroergometrie in der Sportmedizin Theoriekurs

## $\textbf{Z}\textbf{AHNRADMODELL} \rightarrow \textbf{T}\textbf{RANSFER IN DIE 9FELDERGRAFIK}$

NACH WASSERMAN























Dr. Schomaker & Dr. Greiwing

**Theoriekurs** 

9-Felder-Grafik

Feld 3 / 8 & Kalorimetrie

Feld 5 & VT1

Feld 6

Feld 4 & VT2

Feld 2

Feld 1

Feld 7

Feld 9

Herz oder Lunge? Befundungshilfen, ReTest



Dr. Schomaker & Dr. Greiwing

#### NORMWERTE IN DER SPIROERGOMETRIE



### Spiroergometrie in der Sportmedizin

Theoriekurs

9-Felder-Grafik

Feld 3 / 8 & Kalorimetrie

Feld 5 & VT1

Feld 6

Feld 4 & VT2

Feld 2

Feld 1

Feld 7

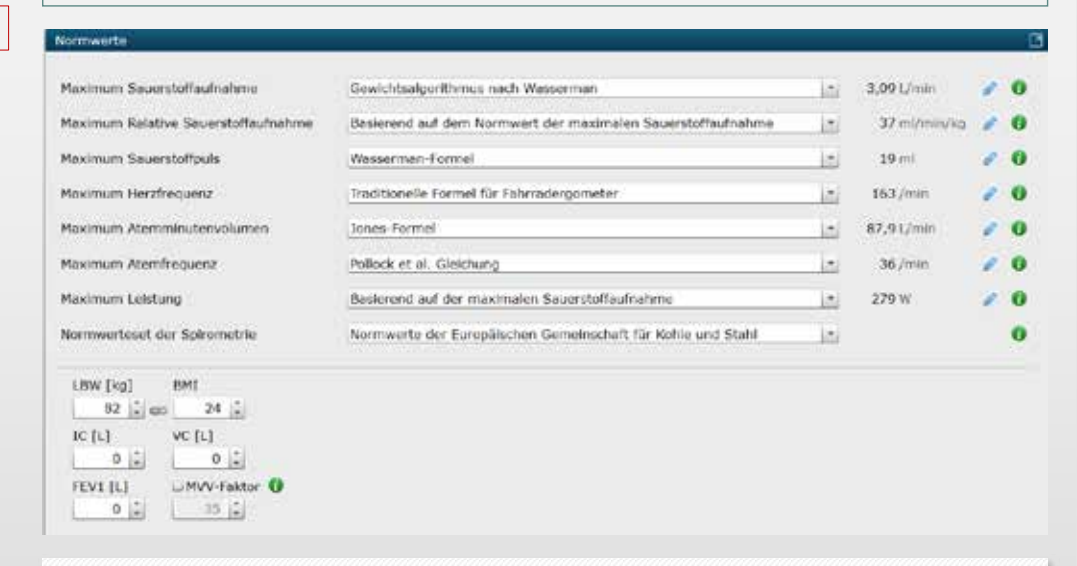
Feld 9

Herz oder Lunge? Befundungshilfen, ReTest



Dr. Schomaker & Dr. Greiwing

#### NORMWERTE AM BEISPIEL DER SOFTWARE METASOFT STUDIO®



- ✓ Eine Zusammenstellung der in der Metasoft Studio® hinterlegten kollektiven Sollwerte lässt sich über die Toolbox in den Auswertungsworkflow integrieren
- ✓ Per Klick auf die zugehörige Sollwertzeile lässt sich das zugrunde liegende Sollwertkollektiv verändern
- ✓ Ein Klick auf das grüne Ausrufezeichen gibt Informationen zu Formel oder Sollwertkollektiv und den zugrundeliegenden Literaturquellen
- Die Eingabe von Größe und Gewicht sowie FEV1, IC und VC (Messung vor Testbeginn) ermöglichen die Kalkulation individueller Sollwerte

Theoriekurs

9-Felder-Grafik

Feld 3 / 8 & Kalorimetrie

Feld 5 & VT1

Feld 6

Feld 4 & VT2

Feld 2

Feld 1

Feld 7

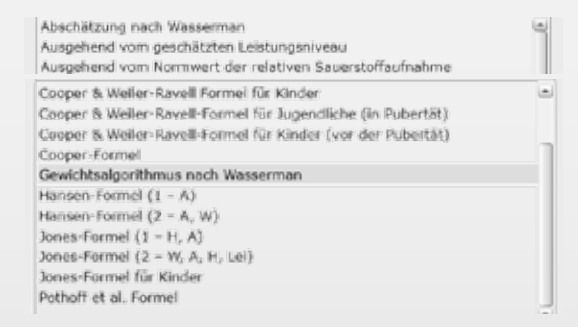
Feld 9

Herz oder Lunge? Befundungshilfen, ReTest



Dr. Schomaker & Dr. Greiwing

### Normwertoptionen für die absolute V`O₂max in I/min



- ➤ Auswahl verschiedener Formeln für Sollwert V`O₂max in I/min:
- ✓ Hansen & Wasserman (1984)
  - Männer: [Größe Alter] x 20
  - Frauen: [Größe Alter] x 14
  - Adipöse: V`O₂max (Normgewicht) + 6ml O₂/kg Übergewicht
- √ Hansen (1984)
  - V`O₂max I/min (♂): 4,2 (0,032 x Alter) x 0,9 für Radtest
  - V`O₂max I/min (♀): 2,6 (0,014 x Alter) x 0,9 für Radtest
- ✓ Jones (1985)
  - V'O₂max I/min (♂): (3,45 X KH[m]) (0,028 x Alter) + (0,022 X KG) 3,76
  - $\triangleright$  V'O₂max I/min ( $\bigcirc$ ): (2,49 X KH[m]) (0,018 x Alter) + (0,01 X KG) 2,26
- ✓ SHIP I (2013, Auswahl):
  - V'O₂max ml/min (♂): 254,761 22,6925 x Alter + 17,2463 x KH [cm] + 4,4114 x KG
  - $\triangleright$  V'O₂max I/min ( $\stackrel{\bigcirc}{}$ ): 54,739 9,8085 x Alter + 9,9172 x KH [cm] + 8,0557 x KG

2015, Kroidl R, Schwarz S, Lehnigk B, "Kursbuch Spiroergometrie, 3. Auflage", S. 502 & 503 2018 Meyer FJ et al, Belastungsuntersuchungen in der Pneumologie – Empfehlungen der Deutschen Gesellschaft für Pneumologie und Beatmungsmedizin e.V.2018; 72: 687–731, S. 700

#### Spiroergometrie in der Sportmedizin

Theoriekurs

9-Felder-Grafik

Feld 3 / 8 & Kalorimetrie

Feld 5 & VT1

Feld 6

Feld 4 & VT2

Feld 2

Feld 1

Feld 7

Feld 9

Herz oder Lunge? Befundungshilfen, ReTest



Dr. Schomaker & Dr. Greiwing

### Normwertoptionen für O<sub>2</sub>-Puls

Wasserman-Formel

Jones-Formel

#### Normwertoptionen für HFmax

Formel für Kinder

Linearer altersabhängiger Abfall

Traditionelle Formel für Fahrradergometer

Traditionelle Formel für Laufband

#### Normwertoptionen für V`E max

Jones-Formel

Normwertoptionen für BR max

Pollock et al. Gleichung

#### Normwertoptionen für Spirometrie

Basierend auf der maximalen Sauerstoffaufnahme

Basierend auf der maximalen Sauerstoffaufnahme

Berechnet aus Gewicht und Alter

Jones-Formel (1 - A, H)

Jones-Formel (2 - A, H)

Jones-Formel (3 - A, H, W)

**Theoriekurs** 

9-Felder-Grafik

Feld 3 / 8 & Kalorimetrie

Feld 5 & VT1

Feld 6

Feld 4 & VT2

Feld 2

Feld 1

Feld 7

Feld 9

Herz oder Lunge? Befundungshilfen, ReTest



Dr. Schomaker & Dr. Greiwing

### Normwertoptionen für die relative V`O₂max in l/kg/min

Basierend auf dem Normwert der maximalen Sauerstoffaufnahme

Ausgehend vom geschätzten Leistungsniveau

Basierend auf dem Normwert der maximalen Sauerstoffaufnahme

Davis et al. Formel

Hansen-Formel Jones-Formel

Linearer altersabhängiger Abfall

Shvartz & Reibold-Formel

- ➤ Auswahl verschiedener Formeln für Sollwert V`O₂max in ml/kg/min:
  - ✓ Jones-Formel
    - V`O₂max (♂) ml/kg/min: 60- (0,55 x Alter)
    - V`O₂max (♀) ml/kg/min: 48- (0,37 x Alter)
  - ✓ Cooper-Formel
    - V`O₂max (♂) ml/kg/min: 50,02- (0,394 x Alter)
    - V`O₂max (♀) ml/kg/min: 42,83- (0,371 x Alter)
  - ✓ Cooper(Weiler-Ravell 1984:
    - ✓ Kinder vor der Pubertät
      - $VO_2peak [ml/kg/min] = \frac{37.1 \times Gr\"{o}se [cm] 3770,6}{Gewicht [kg]}$
    - ✓ Jungen in Pubertät
      - V'O<sub>2</sub>peak [ml/kg/min] =  $\frac{42.6 \times Gr\"{o}\&e [cm] 4847.1}{Gewicht [kg]}$
    - ✓ Mädchen in Pubertät
      - V'O<sub>2</sub>peak [ml/kg/min] =  $\frac{22,5 \times Gr\"{o}se [cm] 1837,8}{Gewicht [kg]}$

2015, Kroidl R, Schwarz S, Lehnigk B, "Kursbuch Spiroergometrie, 3. Auflage", S. 503

2018 Meyer FJ et al, Belastungsuntersuchungen in der Pneumologie – Empfehlungen der Deutschen Gesellschaft für Pneumologie und Beatmungsmedizin e.V.2018; 72: 687–731, S. 700

2001, Cooper CB, Storer TW, "Exercise Testing and Interpretation – A practical approach", Cambridge University Press, S. 220

#### Spiroergometrie in der Sportmedizin

Theoriekurs

9-Felder-Grafik

Feld 3 / 8 & Kalorimetrie

Feld 5 & VT1

Feld 6

Feld 4 & VT2

Feld 2

Feld 1

Feld 7

Feld 9

Herz oder Lunge? Befundungshilfen, ReTest



Dr. Schomaker & Dr. Greiwing

### REFERENZWERTE REL. V'O2MAX IM LAUFBANDTEST: 3 STUDIEN

|                          | Alter              |                   |                   |                   |                   |                   |  |
|--------------------------|--------------------|-------------------|-------------------|-------------------|-------------------|-------------------|--|
| Studie                   | 20-29              | 30-39             | 40-49             | 50-59             | 60-69             | 70-79             |  |
|                          |                    |                   | Män               | nnlich            |                   |                   |  |
| FRIEND,<br>2015          | 47,6 <u>+</u> 11,3 | 43,0 <u>+</u> 9,9 | 38,8 <u>+</u> 9,6 | 33,8 <u>+</u> 9,1 | 29,4 <u>+</u> 7,9 | 25,8 <u>+</u> 7,1 |  |
| Loe et al.,<br>2013      | 54,4 <u>+</u> 8,4  | 49,1 <u>+</u> 7,5 | 47,2 <u>+</u> 7,7 | 42,6 <u>+</u> 7,4 | 39,2 <u>+</u> 6,7 | 35,3 <u>+</u> 6,5 |  |
| Edvardsen<br>et al, 2013 | 48,9 <u>+</u> 9,6  | 46,2 <u>+</u> 8,5 | 42,7 <u>+</u> 9,3 | 36,8 <u>+</u> 6,6 | 32,4 <u>+</u> 6,4 | 30,1 <u>+</u> 4,8 |  |
|                          | Weiblich           |                   |                   |                   |                   |                   |  |
| FRIEND,<br>2015          | 37,6 <u>+</u> 10,2 | 30,9 <u>+</u> 8,0 | 27,9 <u>+</u> 7,7 | 24,2 <u>+</u> 6,1 | 20,7 <u>+</u> 5,0 | 18,3 <u>+</u> 3,6 |  |
| Loe et al.,<br>2013      | 43,0 <u>+</u> 7,7  | 40,0 <u>+</u> 6,8 | 38,4 <u>+</u> 6,9 | 34,4 <u>+</u> 5,7 | 31,1 <u>+</u> 5,1 | 28,3 <u>+</u> 5,2 |  |
| Evardsen et al, 2013     | 40,3 <u>+</u> 7,1  | 37,6 <u>+</u> 7,5 | 33,0 <u>+</u> 6,4 | 30,4 <u>+</u> 5,1 | 28,7 <u>+</u> 6,6 | 23,5 <u>+</u> 4,1 |  |

- The FRIEND Study: 01.01.2014 -01.02.2015 Laufbandtests an 7783 herz- und lungengesunden Männern und Frauen zwischen 20 und 79 Jahren in 8 Laboren
- Die rel. V`O₂max nahm im in diesem Kollektiv (20-79J) im Mittel um 10% pro Lebensdekade ab: von im Mittel 47 ml/kg/min im 20. LJ auf 25 ml/kg/min im 70. LJ

2015 Kaminsky LA et al, Reference Standards for Cardiorespiratory Fitness Measured With Cardiopulmonary Exercise Testing: Data From the Fitness Registry and the Importance of Exercise National Database, Mayo Clin Proc, 2015 Nov;90(11):1515-23

2013 Edvardsen E, et al, Reference values for cardiorespiratory response and fitness on the treadmill in a 20- to 85-year old population, Chest. 2013;144(1):241-248

2013 Loe H et al, Aerobic capacity reference data in 3816 healthy men and women 20e90 years. PLoSOne, 2013;8(5)

**Theoriekurs** 

9-Felder-Grafik

Feld 3 / 8 & Kalorimetrie

Feld 5 & VT1

Feld 6

Feld 4 & VT2

Feld 2

Feld 1

Feld 7

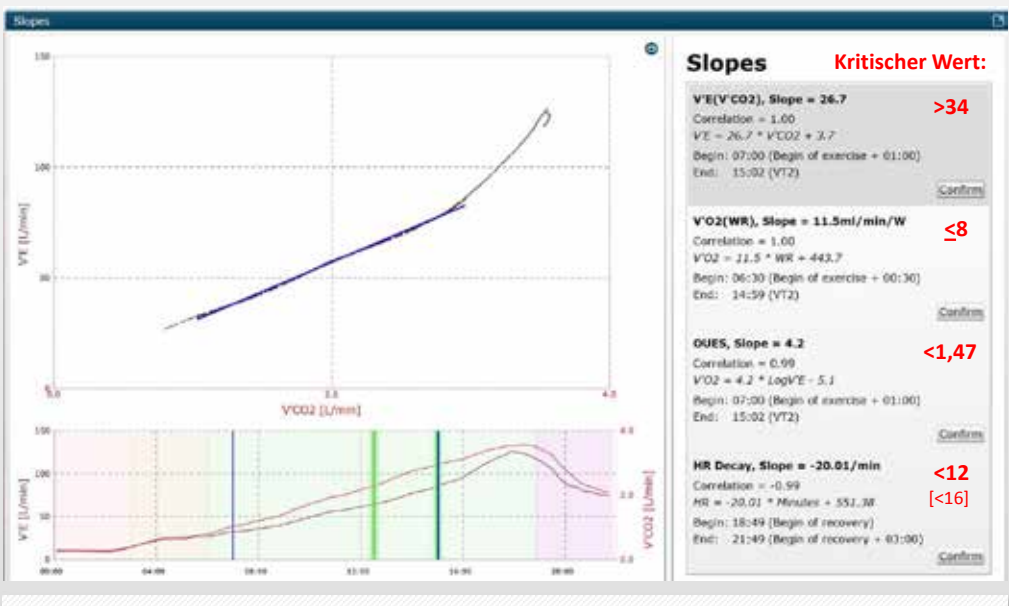
Feld 9

Herz oder Lunge? Befundungshilfen, ReTest



Dr. Schomaker & Dr. Greiwing

### WAS IST EIN "SLOPE"?



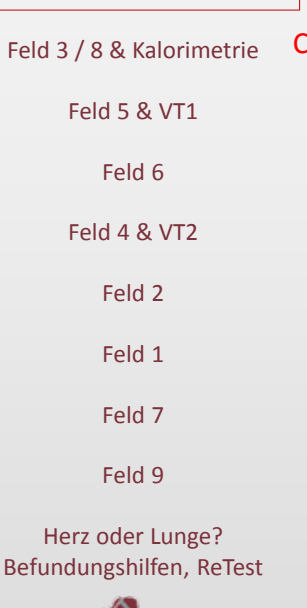
- / "Slope" ≈ Anstieg, Steigungsmaß, Steigung, Steilheit, Neigung
- √ y(x)-Abhängigkeiten (xy-Darstellungen) unterscheiden <u>lineare / nichtlineare</u> Zusammenhänge
- √ y = m \* x + b; (m = Slopewert, Gradient; x = unabhängige Variable, b = y-Abschnitt der Linie)
- ✓ Der Korrelationskoeffizient sagt aus, wie streng der <u>lineare</u> Zusammenhang (Korrelation) der gegeneinander aufgetragenen Variablen x und y ist ausgeprägt ist
- "Slopes" ermöglichen "Blickdiagnosen"
- Kritische Werte korrelieren mit einer deutlich erh\u00f6hten kardiovaskul\u00e4ren Ereignisrate, Interventionsrate, Mortalit\u00e4t und Hospitalisierungsrate bei definierten Probandengruppen (z.B. Patienten mit Herzinsuffizienz [CHF])
- ✓ [Der ExcessCO₂ Slope (V'CO₂)²/V'O₂ V'CO₂ = (RER 1) \* V'CO₂ nach Volkov kann als weiterer oben nicht berücksichtigter Slope in der Spiroergometrie gelten]

#### Spiroergometrie in der Sportmedizin

Theoriekurs

9-Felder-Grafik

## WIE FUNKTIONIERT DER "V-SLOPE" IN FELD 5?



C'O<sub>2</sub> I/min

Lactate – CO<sub>2</sub>

Glyogen – CO<sub>2</sub>

Fat – CO<sub>2</sub>

V'O<sub>2</sub> I/min

"Schematic graph showing theoretical effects of different metabolic fuels on the relationship of  $CO_2$ output to  $O_2$ uptake.  $CO_2$ output is the lowest when only fat is used and increases with increasing use of carbohydrate and with the production of lactate."

 $Arr RER = 1 → 45^{\circ}$  Tangente durch den Nullpunkt → V $^{\circ}$ O<sub>2</sub> ist = V $^{\circ}$ CO<sub>2</sub> an jedem Punkt der Geraden ≈ "aerobe Kohlenhydratverstoffwechselung"

SPIROERGOMETRIE KURS

**Theoriekurs** 

9-Felder-Grafik

Feld 3 / 8 & Kalorimetrie

Feld 5 & VT1

Feld 6

Feld 4 & VT2

Feld 2

Feld 1

Feld 7

Feld 9

Herz oder Lunge? Befundungshilfen, ReTest



Dr. Schomaker & Dr. Greiwing

### SPIROERGOMETRIE IN DER SPORTMEDIZIN



#### Auswertung der 9-Felder-Grafik nach Wasserman in der Praxis

- > STANDARDISIERTES VORGEHEN
  - ➤ PITFALLS & FEHLERQUELLEN
- > BEFUNDUNG UND INTERPRETATION

### Spiroergometrie in der Sportmedizin

Theoriekurs

9-Felder-Grafik

Feld 3 / 8 & Kalorimetrie

Feld 5 & VT1

Feld 6

Feld 4 & VT2

Feld 2

Feld 1

Feld 7

Feld 9

Herz oder Lunge? Befundungshilfen, ReTest



Dr. Schomaker & Dr. Greiwing

ZFS-STANDARDALGORHYTHMUS ZUR INTERPRETATION
DER 9-FELDER-GRAFIK NACH KARLMAN WASSERMAN (1ST ED., 1978)



Zentrum für Sportmedizin



#### ZfS-Standard: Auswertung der 9-Felder-Grafik (1st Ed., 1978):

- Feld 3/8: V`O₂max/peak; RER: Metabolismus / Substratutilisation; maximale Leistungsfähigkeit (METmax, Watt/kg); "Aerobe Kapazität" = V`O₂(P) Slope (ΔV`O₂/ ΔWR) "Slope 1" <8ml/min/Watt?; "Slope 2" <4ml/min/Watt?; Ausbelastung / Kooperation</p>
- Feld 5: V'O₂max; V'CO₂max; HRmax; max. O₂-Puls; VT1; ggf. auch Validierung von VT2; HR, V'O₂ und Last an VT1 und an V'O₂max; Höhe der eingegangenen Laktatazidose (Mitarbeit); HRR 1 (heart rate reserve), Verlauf HR und Verlauf O₂-Puls
- Feld 6: Bestimmung von VT1 nach EQO₂ und VT2 nach EQCO₂; Atemarbeit / Atemökonomie/ Atemeffizienz; EQCO₂ + EQO₂ = dimensionslose Zahlen ebenso wie V`E
- Feld 4: V`E\*-Slope V`E(V`CO<sub>2</sub>) Slope [bis VT2]: Verlauf & absoluter Wert: Hyper- (>34) oder Hypoventilation (<25); Bestimmung von VT2 (=RCP); Atemeffizienz
- Feld 2: HR; O<sub>2</sub>-Puls: Verlauf, max. O<sub>2</sub>-Puls <80% Sollwert?; Ruhe- und Ausbelastungs-HR, HRR 1 (heart rate reserve); HRR 2 (heart rate recovery → HR-Decay Slope)
- Feld 1: V`Emax und dessen Bezug zu individuell ermittelten und kollektiven Sollwerten (MVV + V`Epredict); "Neuner-Regel" (9I V`E/25Watt); VT1 & VT2 sind als Atemantriebe ggf. sichtbar; Aufbrauchen der Atemreserve (<20% von MVV oder <15I?)</p>
- Feld 7: Atemmuster (Obstruktion oder Restriktion?); Atemrhythmus (z.B. Kopplung der Atem- an die Schrittfrequenz); Atemarbeit
- Feld 9: Höhe und Verlauf der endtidalen O₂- und CO₂-Partialdrücke; Validierung VT1+ VT2; ggf. Bezug zu aufgetragenen BGA-Werten (arterialisiertes Kapillarblut des Ohrläppchens) oder SpO₂
- ➢ Am Messplatz wird vorgehalten: "Bronchospasmolyseset": Salbutamol + Ipratropium Spray (→ Reversibilität einer bronchospastischen endobronchialen Obstruktion), Nitrospray (→ Reversibilität einer typischen Angina pectoris)

**Theoriekurs** 

9-Felder-Grafik

#### Feld 3 / 8 & Kalorimetrie

Feld 5 & VT1

Feld 6

Feld 4 & VT2

Feld 2

Feld 1

Feld 7

Feld 9

Herz oder Lunge? Befundungshilfen, ReTest



Dr. Schomaker & Dr. Greiwing

#### Systematik der Befundung: 7Fragen pro Feld



#### Welche Aussagen sind möglich?

✓ Welche Befundparameter können aus dem Feld erkannt werden?

#### Was ist dargestellt?

✓ Welche Daten sind im Feld gegeneinander aufgetragen?

#### **▶** Welche Normwerte liegen zugrunde?

✓ Für welche Kanäle sind Normwerte sind im Feld hinterlegt, woher stammen sie und bilden Sie den untersuchten Probanden ab?

#### Was bedeuten die eingeblendeten Isoplethen?

✓ Wofür stehen die Isoplethen, die im Feld eingetragen sind und die Orientierung erleichtern sollen?

#### Was muß befundet werden?

- ✓ Gibt es einen befundungsrelevanten "Slope"?
- ✓ Welche relevanten Informationen aus dem Feld gehören in den Befundbericht?

#### > Zusätzlich einblenden:

✓ Welche zusätzlichen Informationen können sinnvoll in das Feld eingeblendet werden und die Befundung bereichern?

#### Redundanz:

✓ Welches der anderen Felder beinhaltet die gleichen Informationen?

2014 Schomaker R, Congress Presentation

#### Spiroergometrie in der Sportmedizin

Theoriekurs

9-Felder-Grafik

#### Feld 3 / 8 & Kalorimetrie

Feld 5 & VT1

Feld 6

Feld 4 & VT2

Feld 2

Feld 1

Feld 7

Feld 9

Herz oder Lunge? Befundungshilfen, ReTest



Dr. Schomaker & Dr. Greiwing

## SCHRITT 1: FELD 3





- V'O₂ (Y1-Achse links) und V'CO₂ (Y2-Achse rechts) sind in l/min gegen die Zeit (min; X-Achse) aufgetragen; ggf. zusätzlich die Last in Watt (Rad) oder km/h (Laufband) auf der X-Achse auftragen
- ✓ Je größer der Abstand von V`O₂ über V`CO₂, umso näher ist RER an 0,7 d.h. umso höher ist der Anteil der Fettverbrennung an der Gesamtenergiebereitstellung (RER = V`CO₂ / V`O₂)
- ✓ RER = 1 entspricht keiner definierten "Schwelle"; vielfach kommen im Testverlauf mehrere Kreuzungspunkte "RER = 1" vor
- RER ist im Normalfall an VT1 <1 und an VT 2 >1. → CAVE! Es gibt Ausnahmen (z.B. unter ketogener Ernährung kann VT2 bei RER <1 nachweisbar sein)

Theoriekurs

9-Felder-Grafik

#### Feld 3 / 8 & Kalorimetrie

Feld 5 & VT1

Feld 6

Feld 4 & VT2

Feld 2

Feld 1

Feld 7

Feld 9

Herz oder Lunge? Befundungshilfen, ReTest



Dr. Schomaker & Dr. Greiwing

## Feld 3: $V^{O_2}(P)$ ( $\Delta V^{O_2}/\Delta WR$ ), $V^{O_2}MAX/PEAK$ , FATOX

### Welche Aussagen sind möglich?

- ✓ V'O₂max oder V'O₂peak (Hinweise für kardiale Limitierung?)
- ✓ METmax, maximale Last (Rad: Watt, Laufband: km/h), mean response time
- ✓ Leistungsfähigkeit, "Aerobe Kapazität"  $V^{\circ}O_2(P) = \Delta V^{\circ}O_2 / \Delta WR$  ("work rate")
- ✓ Substratutilisation (Metabolismus): Fett- und Kohlenhydratoxidation
- ✓ Mitarbeit / Ausbelastung

#### Was ist dargestellt?

√ Verlauf von V`O₂ und V`CO₂ über die Zeit

#### > Welche Normwerte liegen zugrunde?

- ✓ Formeln nach SHIP, Wasserman, Cooper, Hansen, Jones, Potthoff [V'O₂]
- Was bedeuten die Isoplethen? -
- Was muß befundet werden?
- ✓ <u>SLOPES</u>:  $V'O_2(P)$  Slope ( $\Delta V'O_2/\Delta Watt$ ); OUES (oxygen uptake efficiancy Slope); ExcessCO<sub>2</sub>:  $ExCO_2 = [(V'CO_2)^2/V'O_2) V'CO_2]$ -Slope
- ✓ Anstieg und Morphologie der Kurve V`O₂ (Peak oder Plateau? Bezug zum Normbereich? Abstand zu V`CO₂ = RER), Anstieg V`CO₂ + Bezug zu V`O₂
- ✓ V`O₂peak/max "absolut" in I/min und "relativ" in mI/min/kg
- ✓ V'O₂ an VT1 in %V'O₂max und in %V'O₂predict, maximale Last (Pmax)
- ✓ mean response time [MRT, oxygen delay]

#### Zusätzlich einblenden:

✓ Last in Watt oder km/h → ΔV'O<sub>2</sub>/ ΔWR, V'O<sub>2</sub>(P): Norm 9-11ml/Watt (Rad)

#### Redundanz:

✓ V'O₂ und V'CO₂ in Feld 5; V'CO₂ in Feld 4, V'CO₂/VO₂ in Feld 8 (RER)

#### Spiroergometrie in der Sportmedizin

Theoriekurs

9-Felder-Grafik

#### Feld 3 / 8 & Kalorimetrie

Feld 5 & VT1

Feld 6

Feld 4 & VT2

Feld 2

Feld 1

Feld 7

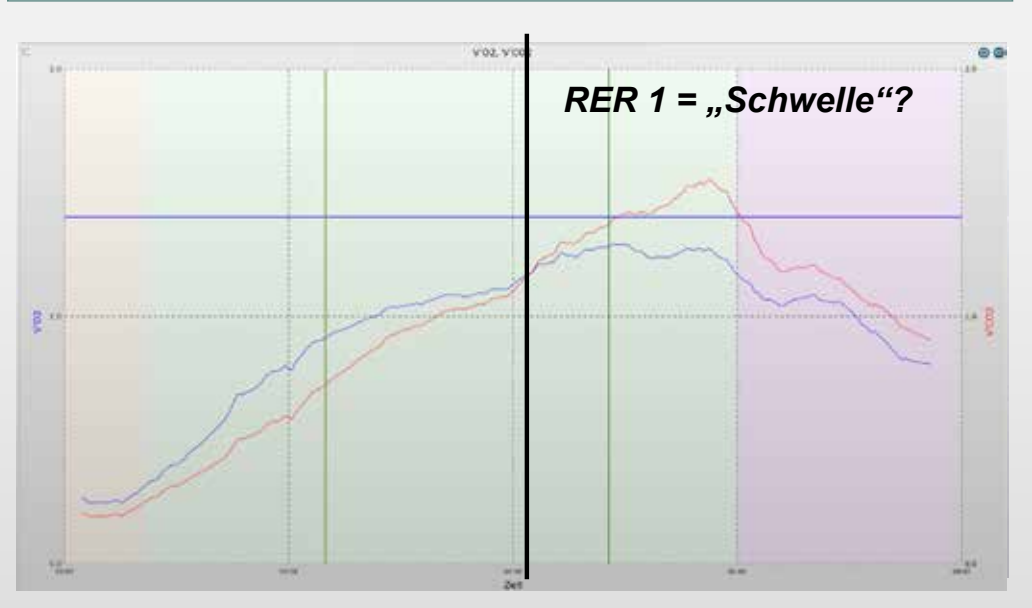
Feld 9

Herz oder Lunge? Befundungshilfen, ReTest



### PITFALL: SCHWELLE BEI RER = 1?

ightarrow "Crossing method" / RER-AT: ightarrow "Objective and readily obtainable"?



- 54jährige Frau, 54,5kg, 171cm,
- Radergometertest: 50 128Watt, Rampenprotokoll mit Laststeigerung von 15Watt/min

Theoriekurs

9-Felder-Grafik

Feld 3 / 8 & Kalorimetrie

Feld 5 & VT1

Feld 6

Feld 4 & VT2

Feld 2

Feld 1

Feld 7

Feld 9

Herz oder Lunge? Befundungshilfen, ReTest



Dr. Schomaker & Dr. Greiwing

### **RER = 1** "THE CROSSING METHOD" ODER "RER-AT"

1924 Archibald Hill et al: "a study of the RQ ... may throw light on the acid-base changes occurring as a result of exercise"

1930 Harrison, Pilcher, Clark finden hohe "respiratory gas exchange ratio" bei niedriger Belastung von herzinsuffizienten Patienten

1964 Wasserman & McIlroy beschreiben <u>den Anstieg der "respiratory gas exchange ratio R" (PetCO<sub>2</sub>/PetO<sub>2</sub>)</u> "to detect the onset of anaerobic metabolism during exercise"

1973 Wasserman et al. beschreiben die ExcessCO<sub>2</sub>-Bildung aus der Bikarbonatpufferung des Laktats als AT und relativieren "R" als Abbildung der einsetzenden lokalen metabolischen Azidose

1985 Beaver, Wasserman und Whipp publizieren die "V-Slope-Methode" zu Detektion des Beginns der ExcessCO<sub>2</sub>-Bildung aus der Bikarbonatpufferung des Laktats

1924 Hill A et al, Muscular exercise, lactic acid and the supply and utilization of oxygen, 1 Proc Roy Soc London, Ser B96:438-475, 1924

1930 Harrison TR, Pilcher C, Studies in congestive heart failur II. Respiratory exchange during and after exercise, J Clin Invest 8:291-315, 1930

1964 Wasserman K, McIlroy MB, Detecting the threshold of anaerobic metabolism in cardiac patients during exercise, Am J Cardiol 1964 Dec;14:844-52

1973 Wasserman K, Whipp BJ, Joyal SN, Beaver WL. Anaerobic threshold and respiratory gas exchange during exercise. J Appl Physiol 1973; 35: 236-43

1985 Beaver WL, Wasserman K, Whipp BJ, Improved detection of lactate threshold during exercise using a log–log transformation. J Appl Physiol 1985; 59: 1936–1940

#### Spiroergometrie in der Sportmedizin

Theoriekurs

9-Felder-Grafik

Feld 3 / 8 & Kalorimetrie

Feld 5 & VT1

Feld 6

Feld 4 & VT2

Feld 2

Feld 1

Feld 7

Feld 9

Herz oder Lunge? Befundungshilfen, ReTest



Dr. Schomaker & Dr. Greiwing

## **RER = 1** "The Crossing Method" oder "RER-AT"

- ➤ 1983 Yeh et al definieren RER= 1 als "RER-AT": "V`O₂ at the time when RER stabilized above 1.0 not returning to levels below"
- 1990 Dickstein et al beschreiben zur Validierung der AT hingegen den 1. Kreuzungspunkt von V'CO<sub>2</sub> und V'O<sub>2</sub> in Feld 3 (erster Atemzug im Testverlauf, an dem RER = 1 ist) bei einem Laktatwert von 2mmol/l mit der Einschränkung "objective and readily obtainable but arbitrary and cannot be expected to correspond to the onset of anaerobiosis as accurately as methods based on physiological transitions in the pattern of gas exchange"
- ➤ 1991 Cohen-Solal beschreibt das o.g. Verfahren als "crossing method" mit der Einschränkung "tended to overestimate the mean VT"
- 2016 Peinado et al untersuchten RER = 1 in Relation zum MaxLass an 12 Amateurradsportlern: die Leistung bei RER = 1 (347 ±35W) lag deutlich über der Leistung an MaxLass (284 ±30w) und an VT 1 (253 ±37W)

1983 Yeh MP et al, "Anaerobic threshold": problems of determination and validation. Journal of Applied Physiology 55, 1178-1186

1990 Dickstein K, Barvik S, Aarsland T, Snapinn S, Kalsson J, A comparison of methologies in detection of the anaerobic threshold. Circulation 1990; 81 (Suppl II): II-38-II-46

1991 Cohen-Solal A et al, Multicentre study of the determination of peak oxygen uptake and ventilatory threshold during bicycle exercise in chronic heart failure, Comparison of graphical methods, interobserver variability and influence of the exercise protocol, *Eur Heart J*(1991) 12, 1055-1063

2005 Solberg G et al, Respiratory Gas Exchange Indices for Estimating the anaerobic threshold, J Sprtso Sci Med (2005) Mar 1;4(1):29-36

2016 Peinado AB et al, The midpoint between ventilatory thresholds approaches maximal lactate steady state intensity in amateur cyclists, Biol. Sport 2016;33:373-380

Theoriekurs

9-Felder-Grafik

#### Feld 3 / 8 & Kalorimetrie

Feld 5 & VT1

Feld 6

Feld 4 & VT2

Feld 2

Feld 1

Feld 7

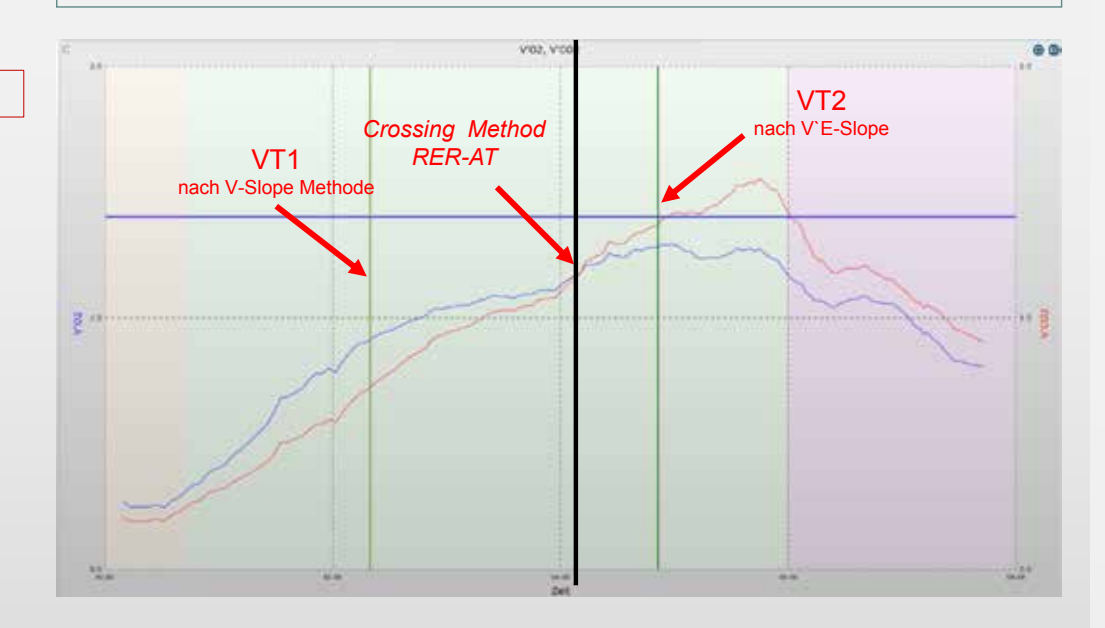
Feld 9

Herz oder Lunge? Befundungshilfen, ReTest



Dr. Schomaker & Dr. Greiwing

### VT1, VT2 UND "CROSSING METHOD" / RER-AT



- 54jährige Frau, 54,5kg, 171cm,
- Radergometertest: 50 128Watt, Rampenprotokoll mit Laststeigerung von 15Watt/min

[Mader und Heck beschrieben 1986 das Model eines "crossing points" als Gleichgewicht von Laktatbildung und Abbau. Dieses Konzept steht zur o.g. "crossing method" von  $V^{O_2}/V^{O_2}$  in keinem Bezug]

#### Spiroergometrie in der Sportmedizin

Theoriekurs

9-Felder-Grafik

### INDIREKTE KALORIMETRIE ÜBER V'O2

GRUNDUMSATZ- UND RUHEUMSATZBEDINGUNGEN

#### Feld 3 / 8 & Kalorimetrie

Feld 5 & VT1

Feld 6

Feld 4 & VT2

Feld 2

Feld 1

Feld 7

Feld 9

Herz oder Lunge? Befundungshilfen, ReTest



Ruheumsatzmessung über Maske  $\,$  an Cortex Biophysik Metalyzer 3B



Dr. Schomaker & Dr. Greiwing

**Theoriekurs** 

9-Felder-Grafik

#### Feld 3 / 8 & Kalorimetrie

Feld 5 & VT1

Feld 6

Feld 4 & VT2

Feld 2

Feld 1

Feld 7

Feld 9

Herz oder Lunge? Befundungshilfen, ReTest



Dr. Schomaker & Dr. Greiwing



Ruheumsatzmessung über Canopy-Option an Cortex Biophysik Metalyzer 3B

#### Spiroergometrie in der Sportmedizin

Theoriekurs

9-Felder-Grafik

#### Feld 3 / 8 & Kalorimetrie

Feld 5 & VT1

Feld 6

Feld 4 & VT2

Feld 2

Feld 1

Feld 7

Feld 9

#### Herz oder Lunge? Befundungshilfen, ReTest



Dr. Schomaker & Dr. Greiwing

### INDIREKTE KALORIMETRIE: MASKE ≠ CANOPY





- > Beide Systeme liefern valide Daten, die miteinander nicht vergleichbar sind
- ✓ Zwischen **Maske und Canopy werden für V`CO₂ +4,1% und für V`O₂ +7,1%**Messabweichung beschrieben (bei Mundstück: +7,9% und +10,2%)
  - Abweichungen ergeben sich u.a. aus dem Verhältnis von Totraumvolumen zu Tidalvolumen/Lungengröße: u.a. für Frühgeborene werden daher Masken empfohlen
  - ➤ CANOPY = geschlossenes System → Hyperkapniegefahr (→ akustisches Alarmsignal!)
- ✓ Eine 5minütige Gewöhnungsphase geht einer 20-40minütigen Messphase voraus
- ✓ Unter Canopy-Messung scheinen sich bei bestimmten Patientengruppen schneller Entspannung und "steady-state"-Bedingungen einzustellen [20min bei Canopy versus 40min bei Maske]
- ✓ Maskensysteme sind in der Anschaffung günstiger, scheinen aber längere Messzeiten bis zum Erreichen eines "steady states" von V`E und RQ zu benötigen

2005 Isbell T et al, Measurement Reliability and Reactivity Using Repeated Measurements of Resting Energy Expenditure with a Face Mask, Mouthpiece, and Ventilated Canopy, J Par Entr Nutr, Vol 29, No 3, 212-217 1993 Forse RA, Comparison of Gas Exchange Measurements With a Mouthpiece, Face Mask, and Ventilated Canopy, J Par Entr Nutr, Vol 17, No 4, 388-391

Theoriekurs
9-Felder-Grafik

Feld 3 / 8 & Kalorimetrie

Feld 5 & VT1

Feld 6

Feld 4 & VT2

Feld 2

Feld 1

Feld 7

Feld 9

Herz oder Lunge? Befundungshilfen, ReTest



Dr. Schomaker & Dr. Greiwing

### GRUNDUMSATZ- UND RUHEUMSATZBEDINGUNGEN

#### Grundumsatz (basal metabolic rate)

- ➤ = Teil des täglichen Energieverbrauches, der für die Aufrechterhaltung lebenswichtiger Funktionen benötigt wird → Umsatz in absoluter körperlicher Ruhe bei Nahrungskarenz, Inaktivität und Indifferenztemperatur (21-24°C)
- ✓ <u>Praetestbedingungen</u>: 12-18h nüchtern, 2h zuvor keinerlei körperliche Anstrengung, 48h Trainingspause, praetest 30min komfortables Liegen in thermoneutraler Umgebung, praetest Meidung von Koffein und Nikotin
- ✓ Messdauer ≥ 10min (bis 40min), Ziel: steady-state von V`E, RER, V`O₂, V`CO₂
- ✓ Ruheumsatz (resting metabolic rate) = "GU unter vereinfachten Laborbedingungen"
  - > = Kompromiss hinsichtlich der Durchführbarkeit im Laboralltag
  - ✓ Praetestbedingungen: 3-4h nüchtern, davor nur "leichte Mahlzeit", keine vorausgehende körperliche Anstrengung, 30-60min Ruhephase vor Test
- Die Vorlastphase in der Spiroergometrie erfüllt weder RU- noch GU-Kriterien!
- ✓ **Steady-State Bedingungen** als Validitätskriterien: über ≥15min <15% Schwankung von V`E und <5% Schwankung von RER [bei Cortex voreingestellt: 5min bei ≤10% für V`O₂, ≤6% V`CO₂, ≤3% RER]
- Normwertbezug täglicher Energieverbrauch: Abschätzung der RDDE (resting daily energy expenditure) über Harris-Benedict-Formel (1905):
  - ✓ RDDE (kcal/24h)  $= 655 + (9.6 \times \text{KG [kg]}) + (1.85 \times \text{Grösse [cm]}) (4.7 \times \text{Alter [J]})$
  - ✓ RDDE (kcal/24h)  $= 66,0 + (13,7 \times KG [kg]) + (5,0 \times Grösse [cm]) (6,8 \times Alter [J])$

2015 McArdle WD, Katch FI, Katch VL, Exercise Physiology", 8th Ed., S. 192-199

2015 Powers SK, Hawley ET, Exercise Physiology – Theory and Application to Fitness and Performance, 9th. Ed., S. 423

2019 Pujia A et al., Lipid Oxidation Assessed by Indirect Calorimetry Predicts Metabolic Syndrome and Type 2 Diabetes, Front Endocrinol, Jan 2019 Vol 9, Article 806

### Spiroergometrie in der Sportmedizin

Theoriekurs

9-Felder-Grafik

#### Feld 3 / 8 & Kalorimetrie

Feld 5 & VT1

Feld 6

Feld 4 & VT2

Feld 2

Feld 1

Feld 7

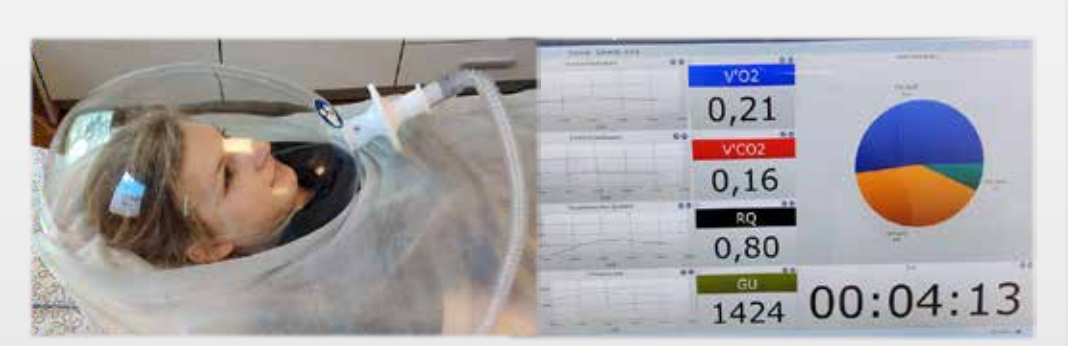
Feld 9

Herz oder Lunge? Befundungshilfen, ReTest



Dr. Schomaker & Dr. Greiwing

### GRUNDUMSATZ: WER BRAUCHT WIEVIEL O<sub>2</sub>? [\$\times\$, 65KG]



| Organ             | O <sub>2</sub> -Verbrauch<br>[ml/min] | % Grundumsatz |
|-------------------|---------------------------------------|---------------|
| Leber             | 67                                    | 27            |
| Gehirn            | 47                                    | 19            |
| Herz              | 17                                    | 7             |
| Nieren            | 26                                    | 10            |
| Skelettmuskulatur | 45                                    | 18            |
| Restbestand       | 48                                    | 19            |
| Gesamt            | 250                                   | 100           |

Theoriekurs
9-Felder-Grafik

Feld 3 / 8 & Kalorimetrie

Feld 5 & VT1

Feld 6

Feld 4 & VT2

Feld 2

Feld 1

Feld 7

Feld 9

Herz oder Lunge? Befundungshilfen, ReTest



Dr. Schomaker & Dr. Greiwing

#### METABOLISCHE FLEXIBILITÄT: RER UND ΔRER ALS RISIKOPARAMETER

- $\uparrow$  RER nüchtern,  $\downarrow \triangle$ RER [Varianz nüchtern/postprandial] =  $\downarrow$  metabolische Flexibilität  $\rightarrow \uparrow$  Insulinresistenz,  $\uparrow$  Diabetesrisiko,  $\uparrow$  Übergewicht,  $\uparrow$  Alterung
- ✓ Ein hoher RER unter Ruheumsatz-Bedingungen (= ↓postprandiale FettOX) gilt als Risikofaktor für eine Zunahme der Körperfettmasse binnen über 3-24 Monate sowie einer Wiederzunahme von Körpergewicht nach vorheriger Gewichtsreduktion
- ✓ Niedrige RER-Werte unter Ruheumsatz-Bedingungen gehen mit höherer Fettverbrennung und größerer Gewichtsreduktion (bei neg. Energiebilanz) unter Trainingsbelastung einher
- ✓ Ein niedriger RER unter GU/RU-Bedingungen gilt als "protektiver Faktor" gegen die Entwicklung von Übergewicht und Adipositas
- Die 1Jahres-Inzidenz für DM Typ2 steigt ab RER >0,91 (GU-Bedingungen)

2018 Rynders CA et al, Sedentary behaviour is a key determinant of metabolic inflexibility, J Physiol 2018 Apr 15; 596(8):1319-1330

2010 Ellis AC et al, Respiratory Quotient Predicts Fat Mass Gain in Premenopausal Women, Obesity (Silver Spring). 2010 December; 18(12): 2255–2259

1990 Zurlo F et al, Low ratio of fat to carbohydrate oxidation as predictor of weight-gain: study of 24-H RQ. Am J Physiol 1990;259:E650–7 [Studie an 152 nichtdiabetischen Pima-Indianern]

2004 Marra M et al., Fasting respiratory quotient as a predictor of long-term weight changes in non-obese women. Ann Nutr Metab 2004;48:189–92.

2016 Shook RP et al, High respiratory quotient is associated with increases in body weight and fat mass in young adults. Eur J Clin Nutr 2016;70:1197–202

2019 Pujia A et al, Lipid Oxidation Assessed by Indirect Calorimetry Predicts Metabolic Syndrome and Type 2 Diabetes, Front Endocrinol, Jan 2019 Vol 9, Article 806

#### Spiroergometrie in der Sportmedizin

Theoriekurs

9-Felder-Grafik

Feld 3 / 8 & Kalorimetrie

Feld 5 & VT1

Feld 6

Feld 4 & VT2

Feld 2

Feld 1

Feld 7

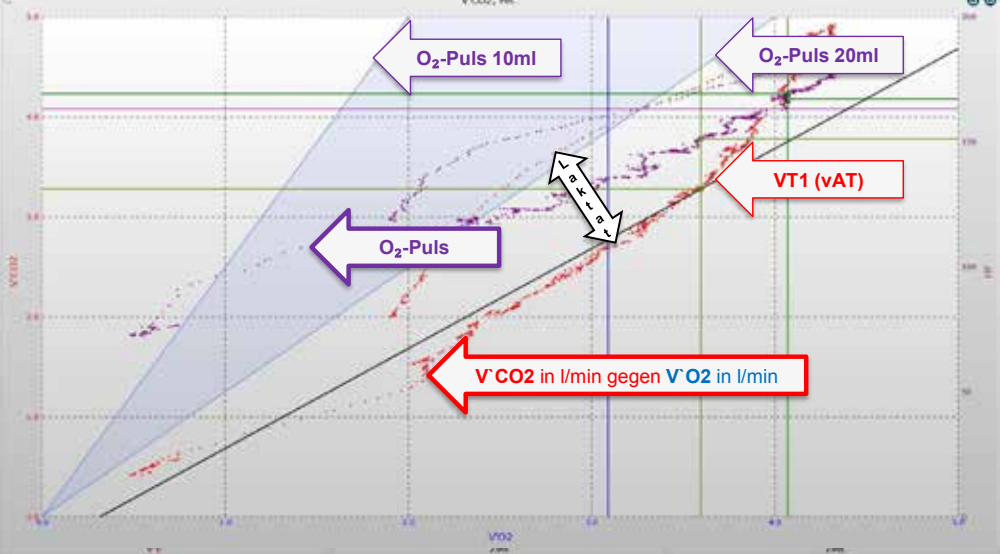
Feld 9

Herz oder Lunge? Befundungshilfen, ReTest



Dr. Schomaker & Dr. Greiwing

# SCHRITT 3 : FELD 5



- Darstellung V'CO<sub>2</sub> (Y1-Achse, links) und O<sub>2</sub>-Puls (Y2-Achse, rechts) in Datenpunkten ("breath by breath"), da als X-Achse V'O<sub>2</sub> und nicht die nicht Zeit aufgetragen ist
- ✓ Auftragen von V'CO₂ (Y1-Achse links) gegen V'O₂ (X-Achse) ermöglicht die Blickdiagnose einer Excess-CO₂-Entstehung aus der Laktatpufferung (VT1 = V-Slope > 1 d.h. Anstieg der Datenpunkte >45° bei gleicher Skalierung V'CO₂ & V'O₂)
- ✓ Der Abstand zwischen Lastkurve V'CO₂ und Nachlastkurve V'CO₂ ist ein Maß für die Höhe der im Testverlauf eingegangenen Laktatazidose
- ✓ Eine 45°-Tangente (Slope = 1) mit Beginn im Nullpunkt entspricht RER= 1
- Zwei Isoplethen ermöglichen der **HF** (Y2-Achse, rechts) einen O<sub>2</sub>-Puls zuzuordnen

Theoriekurs
9-Felder-Grafik

Feld 3 / 8 & Kalorimetrie

Feld 5 & VT1

Feld 6

Feld 4 & VT2

Feld 2

Feld 1

Feld 7

Feld 9

Herz oder Lunge? Befundungshilfen, ReTest



Dr. Schomaker & Dr. Greiwing

### FELD 5: VT 1+2, O<sub>2</sub>-PULS, HRR, LAKTATBILDUNG

#### > Welche Aussagen sind möglich?

- ✓ Verläufe und Maximalwerte von V`O₂, V`CO₂, HF, O₂-Puls
- √ VT1 (ggf. auch Validierung von VT2); HF, V`O₂ und Last an VT1
- ✓ Vorhandensein und Ausprägung einer eingegangenen Laktatazidose (Mitarbeit)
- ✓ HRR (heart rate reserve), Verlauf HF und Verlauf O₂-puls

#### Was ist dargestellt?

✓ O<sub>2</sub>-Puls und V`CO<sub>2</sub> im Verlauf über V`O<sub>2</sub>

#### Welche Normwerte liegen zugrunde?

✓ V'O₂ wie in Feld 3: Formeln nach SHIP, Wasserman, Cooper, Hansen, Jones, Potthoff

#### > Was bedeuten die Isoplethen?

- ✓ Linke Isoplethe: O₂-Puls von 10ml O₂ / Herzschlag
- ✓ Rechte Isoplethe: O₂-Puls von 20ml O₂ / Herzschlag

#### > Was muß befundet werden?

- ✓ **SLOPES:** "V-Slope": V`CO₂ über V`O2 in Ruhe, unter Last (→ Slope) und nach Lastende; Höhe der Nachlastkurve V`CO₂ über V`O2 nach Lastende (→ Grad der eingegangen Laktatazidose = RER-anstieg nach Lastende)
- √ HF, V`O₂ und Last an VT1; %-Bezug zu V`O₂ und V`O2predict
- √ HRR (heart rate reserve) = HF in Ausbelastung HF vor Lastbeginn
- ✓ O₂-Puls in Relation zur Herzfrequenz in Ruhe, Verlauf und Ausbelastung

#### > Zusätzlich einblenden:

- √ 45°-Tangente zur Bestimmung der VT1 (vAT)
- ✓ Ggf. Isoplethe für O₂-Puls von 5ml und 15ml

#### Redundanz:

✓ HF, HRR + O₂-Puls in Feld 2, V`O₂ + V`CO₂ in Feld 3; V`CO₂ in Feld 4

#### Spiroergometrie in der Sportmedizin

Theoriekurs

9-Felder-Grafik

Feld 3 / 8 & Kalorimetrie

Feld 5 & VT1

Feld 6

Feld 4 & VT2

Feld 2

Feld 1

Feld 7

Feld 9

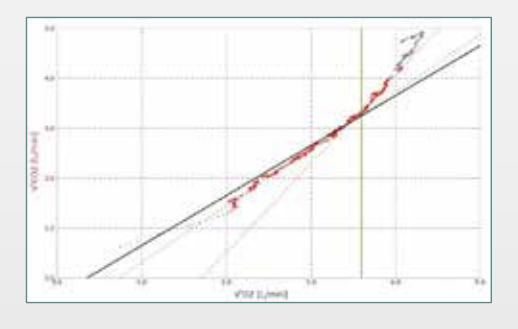
Herz oder Lunge? Befundungshilfen, ReTest



Dr. Schomaker & Dr. Greiwing

### **DEFINITIONEN VON VT1**

POW, VAT, LT, LAT, AT, AAS (AEROB-ANAEROBE SCHWELLE), VENTILATORY THRESHOLD





- ✓ "Erster messbarer Anstieg der Blutlaktatkonzentration; gleichzeitig erster Anstieg der nichtmetabolischen CO₂-Produktion" Röcker K in 2007 Dickhuth HH et al. "Sportmedizin für Ärzte", S. 69
- ✓ "Erster messbarer Anstieg der CO₂-Produktion aus der Bikarbonatpufferung [des ↑Laktats] "
  Röcker K in 2007 Dickhuth HH et al. "Sportmedizin für Ärzte", S. 69
- ✓ "Diejenige Größe von V'O₂ unter ↑Arbeit jenseits der die anaeroben energieliefernden Mechanismen zunehmen (Laktatbildung)" 2006 Hollmann W et al. "Spiroergometrie" (1st Ed.), Schattauer Verlag, S. 109
- ✓ "Diejenige Größe von V'O₂ unter ↑Arbeit jenseits der eine [lokale] metabolische Azidose auftritt" 2006 Hollmann W et al. "Spiroergometrie", Schattauer Verlag, S. 109
- ✓ "Diejenige Größe der Belastungsintensität unter ↑Arbeit jenseits der der Plasmabikarbonatgehalt abnimmt in umgekehrter Beziehung zur Lakatatzunahme" 2006 Hollmann W et al. "Spiroergometrie", (1st Ed.), Schattauer Verlag, S. 109
- ✓ "The AT is defined as the level of exercise V'O₂ above which aerobic energy production is supplemented by anaerobic mechanisms reflected by an increase in lactate and lactate-to-pyruvate (L/P) ratio in muscle and arterial blood" 2005 Wasserman K et al. "Principles of Exercise Testing and Interpretation" 4th Ed., S. 86

Theoriekurs

9-Felder-Grafik

Feld 3 / 8 & Kalorimetrie

Feld 5 & VT1

Feld 6

Feld 4 & VT2

Feld 2

Feld 1

Feld 7

Feld 9

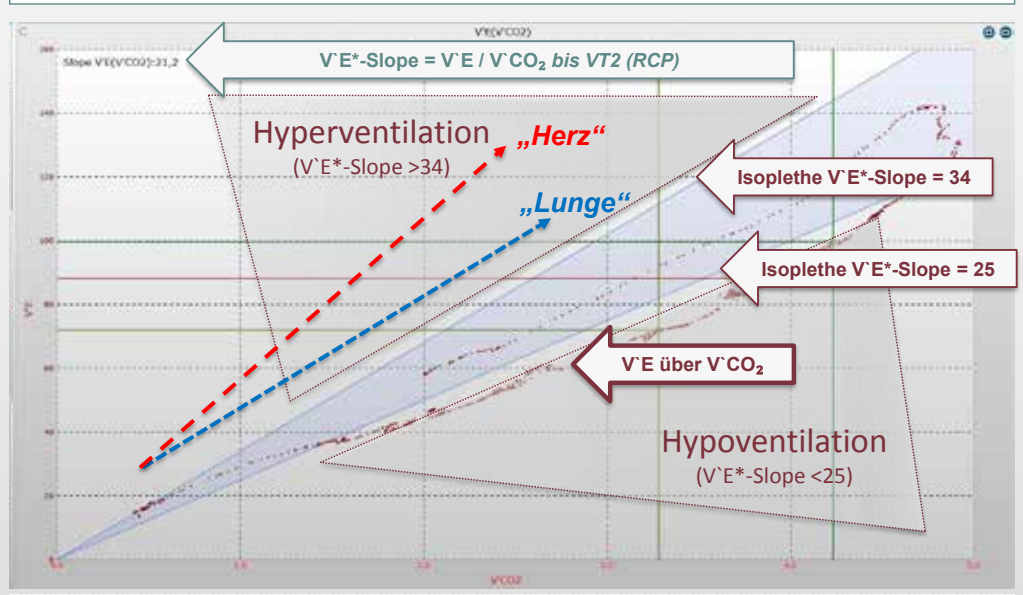
Herz oder Lunge? Befundungshilfen, ReTest



Dr. Schomaker & Dr. Greiwing







- ✓ Darstellung von V`E in l/min (Y-Achse) als Datenpunkte, da auf der X-Achse V`CO₂ in l/min und nicht die Zeit aufgetragen ist. Last- und Nachlastkurve sind zu unterscheiden
- ✓ Feld 4 zeigt das "Verhältnis der Regelgröße Atemminutenvolumen (V`E) zu ihrem Regler (V`CO₂)" und stellt bis zur VT2 eine lineare Funktion dar
- ✓ Das ansteigende Abknicken von **V`E** markiert die "Entkopplung der regelgröße **V`E** von Regler **V`CO₂** zugunsten eines mächtigeren Reglers (systemische metabolische Azidose nach Erschöpfung der bluteigenen Puffersysteme) = VT2"
- ✓ Den Anstieg von V`E über V'CO₂ bis zur VT2 bezeichnet man als "V'E\*-Slope" (dimensionslos), synonym "V'E/V'CO₂-Slope"; die Angabe erfolgt links oben im Feld 4
  - Werte >34 gelten bei herzinsuffizienten Patienten als prognostisch ungünstig
- ✓ Zwei Isoplethen grenzen Hyper- (>34) und Hypoventilation (<25) ab

#### Spiroergometrie in der Sportmedizin

Theoriekurs

9-Felder-Grafik

Feld 3 / 8 & Kalorimetrie

Feld 5 & VT1

Feld 6

#### Feld 4 & VT2

Feld 2

Feld 1

Feld 7

Feld 9

Herz oder Lunge? Befundungshilfen, ReTest



Dr. Schomaker & Dr. Greiwing

### FELD 4: VT2, HYPER- ODER HYPOVENTILATION?

#### Welche Aussagen sind möglich?

- √ V`E\*-Slope (bis VT2), dimensionslos
- √ Hyper- (V`E\*-Slope >34 ) oder Hypoventilation (V`E\*-Slope <25 )
  </p>
- √ VT2 (=RCP)

#### Was ist dargestellt?

✓ V`E (Atemminutenvolumen = Regelgröße) im Verhältnis zu V`CO₂ (Atemregler)

#### > Welche Normwerte liegen zugrunde?

- ✓ Ventilation: Kollektiver Sollwert V`Epredict; individueller Sollwert V`Emax (z.B.: 0,8xMVV; → MVV zuvor über FEV1-Test bei Formel abgeschätzt)
  - ➤ V`E\*-Slope >34 = Hyperventilation
  - V`E\*-Slope <25 = Hypoventilation</p>

#### Was bedeuten die Isoplethen?

- ✓ Linke obere Isoplethe: V`E\*-Slope = 34
- √ Rechte untere Isoplethe: V`E\*-Slope = 25

#### Was muß befundet werden?

- ✓ V`E\*-Slope [= V`E(V`CO₂) Slope] bis zur VT2: Normo-, Hypo- oder Hyperventilation [aszendierend oder horizontal]?
- ✓ VT2 (Last & HR an VT2): Entkopplung der Regelgröße V`E vom Regler V`CO2
- Zusätzlich einblenden: -

#### > Redundanz:

✓ EQCO₂ in Feld 6, V`E in Feld 1+7, V`CO₂ in Feld 3+5

Theoriekurs
9-Felder-Grafik

Feld 3 / 8 & Kalorimetrie

Feld 5 & VT1

Feld 6

Feld 4 & VT2

Feld 2

Feld 1

Feld 7

Feld 9

Herz oder Lunge? Befundungshilfen, ReTest

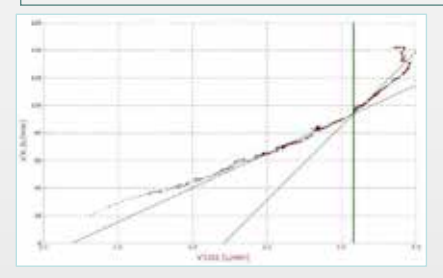


Dr. Schomaker & Dr. Greiwing

### DEFINITIONEN VON VT2 (RCP, VCP)

"CO2 IST DER REGLER, DIE VENTILATION (V`E) IST DER EFFEKTOR"

2. AUFL. KURSBUCH SPIROERGOMETRIE, S.138

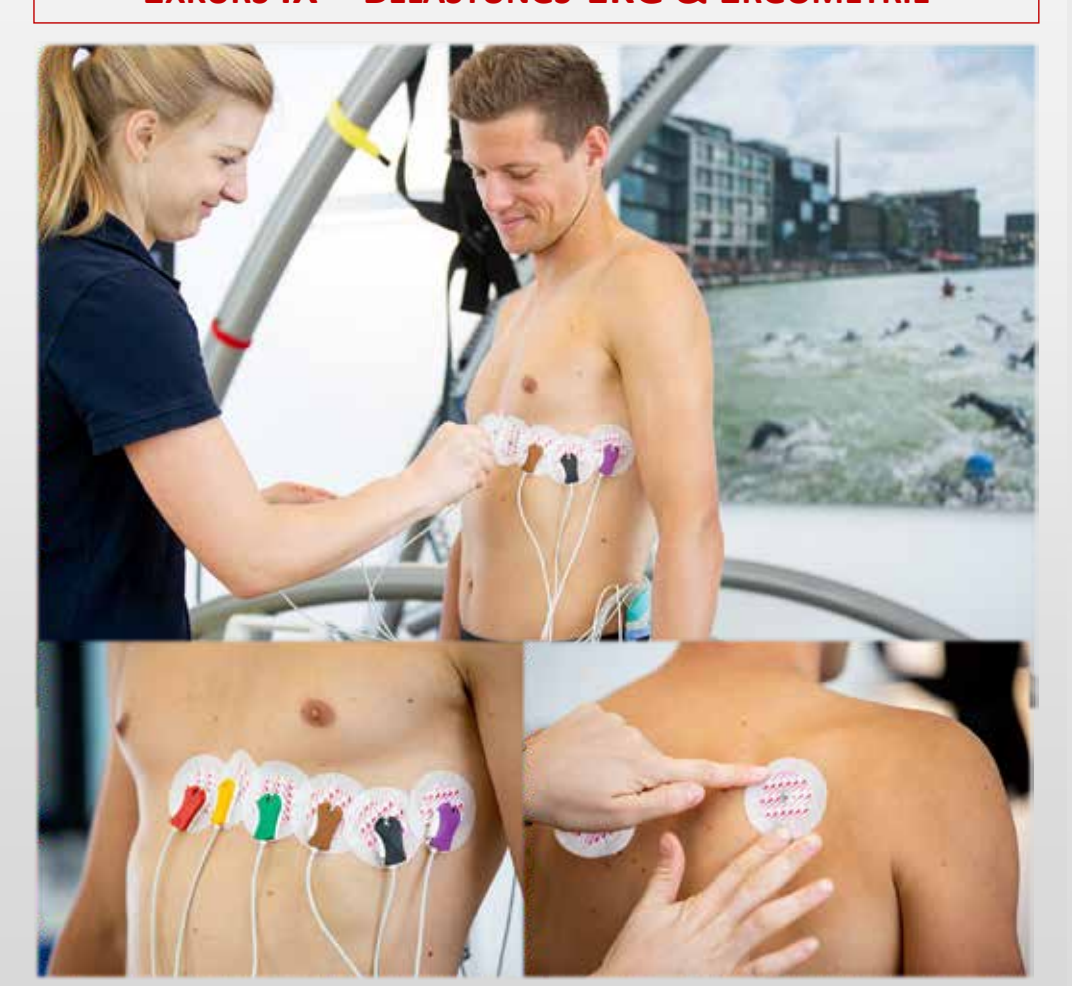




- → Entkopplung der Regelgröße (V`E) von Ihrem Regler (PaCO₂ ≈ PetCO₂) zugunsten eines übergeordneten Reglers (↓pH-Wert durch ↑systemische metabolische Azidose nach Erschöpfung des Bikarbonatpuffers unter weiterer Laktatbildung)
- ✓ Triggerung des Atemzentrums durch rapiden H<sup>+</sup>-lonen-Anstieg = pH-Abfall (systemische metabolische Laktatazidose) nach Erschöpfung der bluteigenen Puffersysteme (<u>Bikarbonat</u>, Phosphatpuffer, Eiweißpuffer); RER >1 2004 Meyer T et al, Is lactic acidosis a cause of exercise induced hyperventilation at the respiratory compensation point?, Br J Sports Med 2004;38:622–625
- ✓ "Bei weiterer Steigerung der Belastungsintensität wirkt die im Blut akkumulierende Säure zusätzlich stimulierend auf den Atemantrieb ein. Oberhalb dieses Schwellenpunktes, den man respiratorischen Kompensationspunkt nennt ("ventilatory compensation point", VCP), wird der Atemantrieb überproportional gesteigert" 2011 Dumitrescu D, Rosenkreuz S, "Atlas Spiroergometrie und pulmonale Hypertonie", S. 16
- "Beginn einer überproportionalen Hyperventilation durch die zunehmende systemische metabolische Azidose" Röcker K in 2007 Dickhuth HH et al. "Sportmedizin für Ärzte", S. 69
- ✓ "When ventilatory compensation for metabolic acidosis starts, the V`O₂ is well above AT, LT oder LAT. This V`O₂ is referred to as the ventilatory compensation point" 2005 Wasserman K et al. "Principles of Exercise Testing and Interpretation" 4th Ed., S. 89

#### Spiroergometrie in der Sportmedizin Theoriekurs

### EXKURS IX - BELASTUNGS-EKG & ERGOMETRIE



**Exkurs IX**Belastungs-EKG & Ergometrie

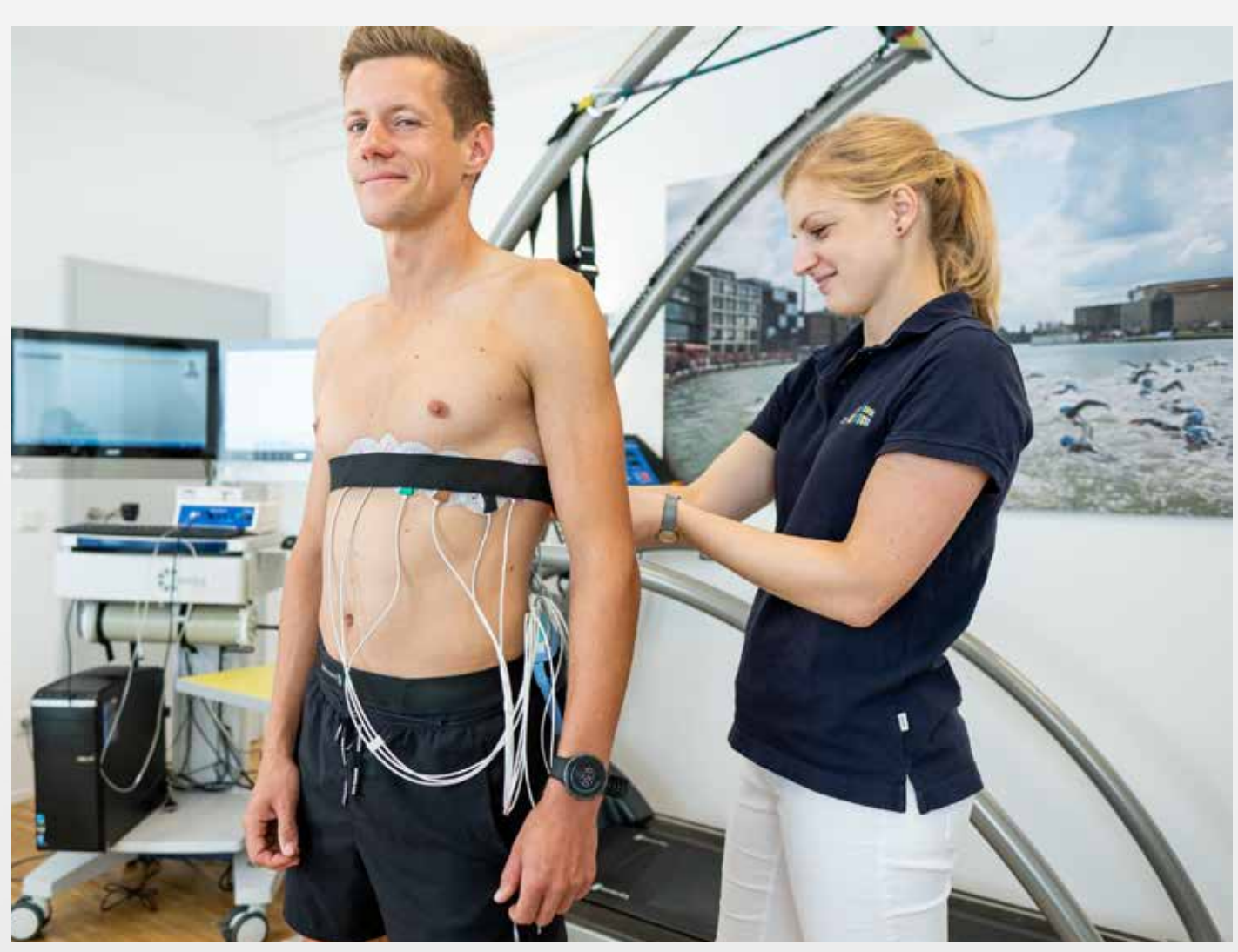


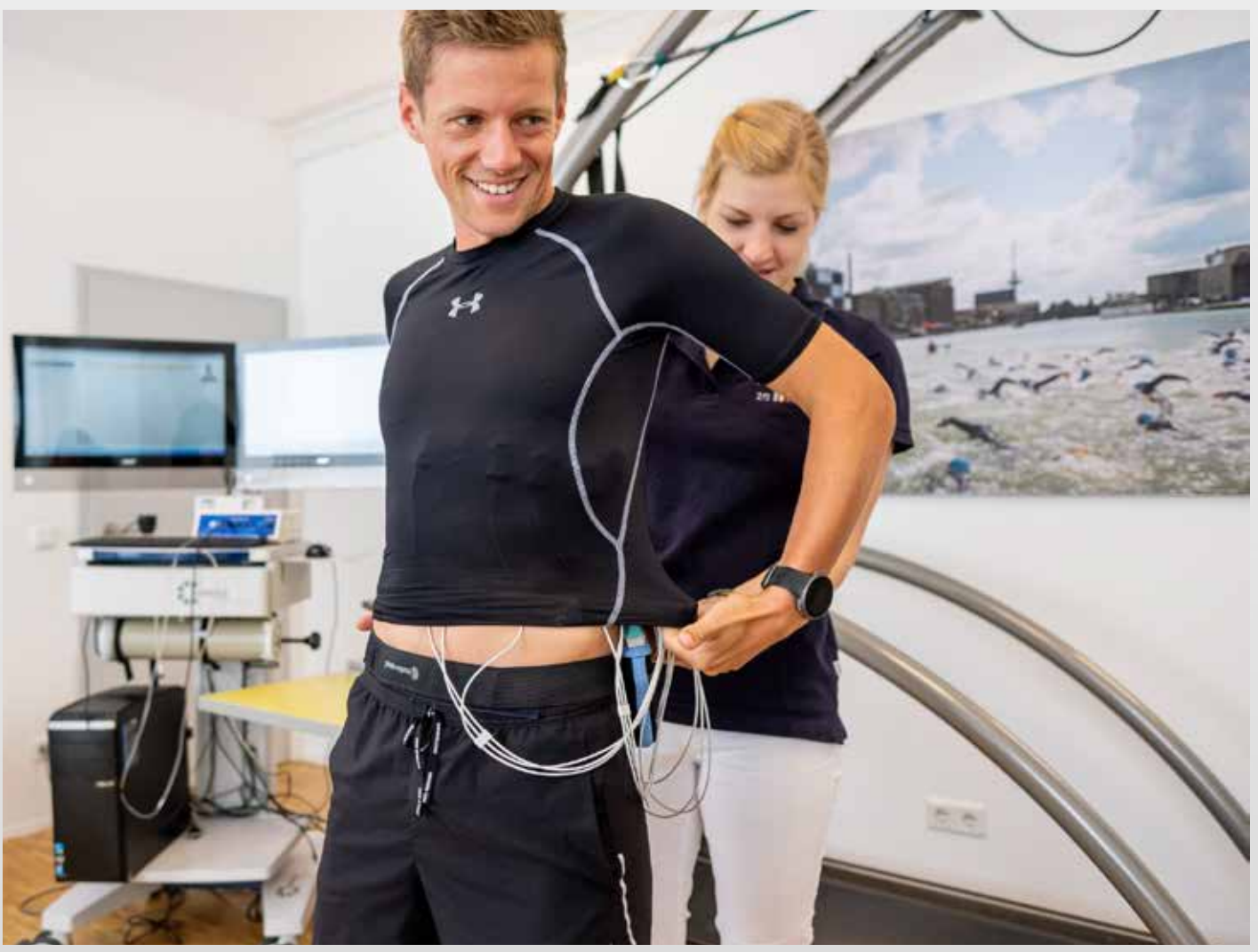












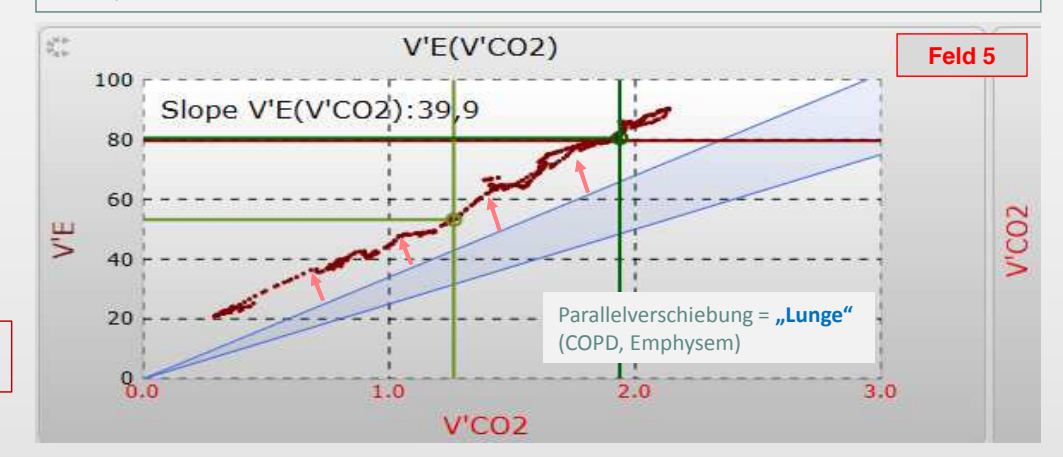
Theoriekurs



Kriterien einer pulmonalen\_Limitation

### DYSPNOEABKLÄRUNG (CHRONISCH = >1MONAT): HERZ ODER LUNGE?

→ DIFFERENTIALDIAGNOSTISCHE HINWEISE FÜR PULMONALE LIMITATION



### Diagnostische Kriterien einer **pulmonalen Limitation** können sein:

- $V^{O_2(P)} [\Delta V^{O_2}/\Delta WR] > 8ml/Watt; \uparrow V^{E} > 9l/25Watt (\rightarrow,,Neuner-Regel")$
- V'O₂ an VT1 <40% V'O₂max predict, RERmax reduziert
- O<sub>2</sub>-Puls >80% des Sollwertes (Sollwert O<sub>2</sub>-Puls = alters- und geschlechtsbasiert aus Sollwert für HRR1 und V'O<sub>2</sub>max berechnet), auch erniedrigter O<sub>2</sub>-Puls möglich
- Reduzierte / normale V'O₂max; OUES normal; in Ruhe ↑EQO₂, unzureichende ↓EQO₂ unter Last
- V'E-Slope >34, Parallelverschiebung bei Emphysem / COPD, ggf. aszendierender Anstieg
- SpO<sub>2</sub> >4% Abfall in Ausbelastung in Relation zum Ruhewert, MRT normal
- Intrabreath-Kurven pathologisch, atemmechanische Limitierung in Feld 7
- Atemreserve <20% von MVV [<15I]
- HRR2 (heart rate recovery) >12 (15) /min in Nachbelastungsphase (active recovery protocol)

2015 Kroidl R et al, Kursbuch Spiroergometrie, 3. Auflage, S. 72, Abb 2.35; S. 159, Tab 3.24 2016 Herdy AH et al., Cardiopulmonary Exercise Test: Background, Applicability and Interpretation, Arq Bras Cardiol. 2016; 107(5):467-481, S.474, Tab 1



Dr. Schomaker & Dr. Greiwing

#### Spiroergometrie in der Sportmedizin Theoriekurs

### DYSPNOEABKLÄRUNG (chronisch = >1Monat): HERZ ODER LUNGE?

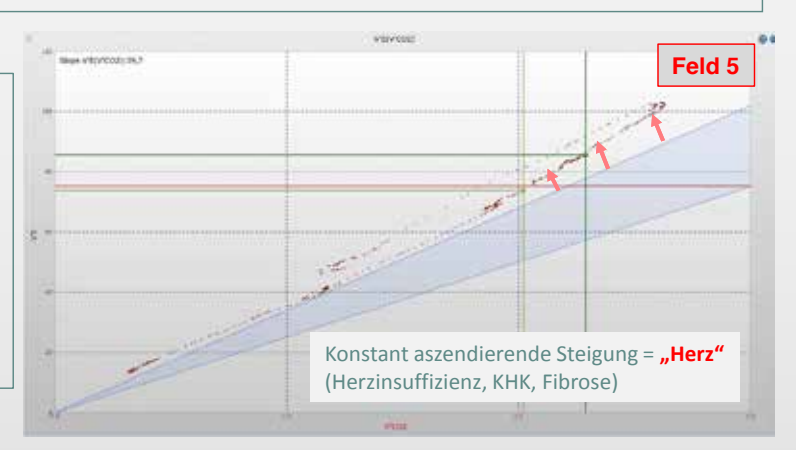
→ DIFFERENTIALDIAGNOSTISCHE HINWEISE FÜR KARDIALE LIMITATION



#### V`E-Slope als Prognosekriterium bei Herzinsuffizienz [CHF]

- Prognoseverschlechterung ab V`E-Slope >32,5 [>34]
  - Class I: <29,9
  - Class II: 30-35,9
  - Class III: 36-44,9
  - Class IV: >45
  - Transplantation bei >43

Chua et al.: Ritt et al.: Arena et al.: Ferreira et al. in: 2016 Herdy AH et al.



Kriterien einer kardialen Limitation

#### Diagnostische Kriterien einer **kardialen Limitation** können sein:

- $V^{O_2(P)} [\Delta V^{O_2}/\Delta WR] \leq 8ml/Watt, V^{E} \leq 9l/25Watt (\rightarrow,,Neuner-Regel'')$
- V'O₂ an VT1 <40% V'O₂max predict (→ Weber Klassifikation), RERmax normal
- Plateau des O<sub>2</sub>-Pulses <80% des Sollwertes oder Abfall des O<sub>2</sub>-Pulses (Sollwert O<sub>2</sub>-Puls = altersund geschlechtsbasiert aus Sollwert für HRR1 und V`O₂max berechnet)
- Reduzierte oder normale V'O<sub>2</sub>max, reduzierte OUES
- V`E-Slope >34, aszendierender Anstieg

- SpO<sub>2</sub> normal; mean response time [MRT] >60s
- Intrabreath-Kurven nicht pathologisch, Feld 7 ohne Hinweis für atemmechanische Limitierung
- Atemreserve >20% von MVV [>151], periodische Atmungsformen (EOV, oszillierende Atmung)
- HRR2 (heart rate recovery) ≤12 (15) /min in Nachbelastungsphase (active recovery protocol)

SPIROERGOMETRIE KURS www.spiroergometrie-kurs.de

Dr. Schomaker & Dr. Greiwing

2015 Kroidl R et al, Kursbuch Spiroergometrie, 3. Auflage, S. 72, Abb 2.35; S. 159, Tab 3.24 2016 Herdy AH et al, Cardiopulmonary Exercise Test: Background, Applicability and Interpretation, Arq Bras Cardiol. 2016; 107(5):467-481, S.474, Tab 1

Theoriekurs

9-Felder-Grafik

Feld 3 / 8 & Kalorimetrie

Feld 5 & VT1

Feld 6

Feld 4 & VT2

Feld 2

Feld 1

Feld 7

Feld 9

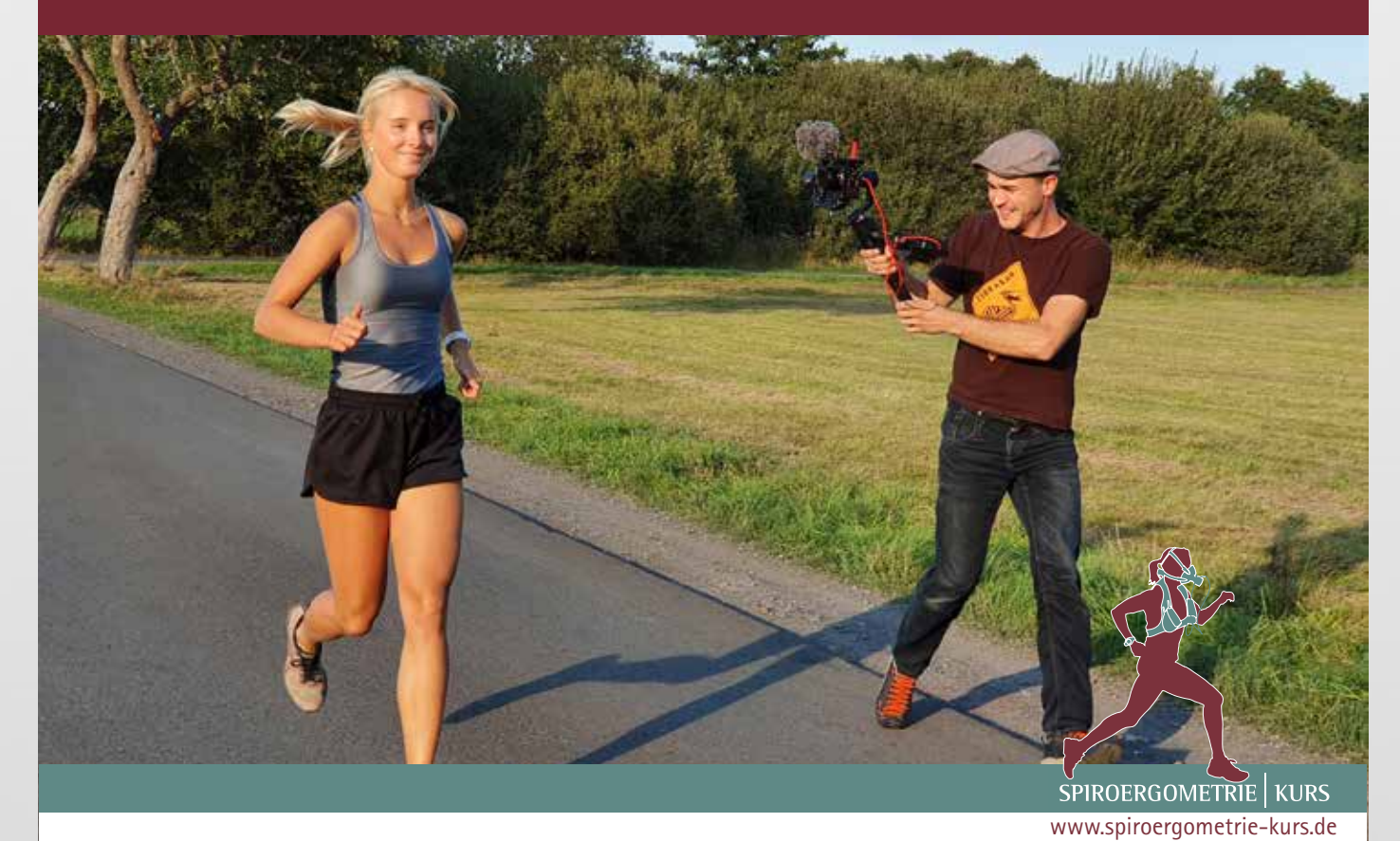
Herz oder Lunge? Befundungshilfen, ReTest



Dr. Schomaker & Dr. Greiwing



# BLEIBEN SIE UP-TO-DATE – BESUCHEN SIE UNSERE ONLINE-TUTORIALS AUF YOUTUBE UND SPIROERGOMETRIE-KURS.DE



#### Lernen Sie unsere weiteren Kursangebote kennen!

Besuchen Sie uns auf www.spiroergometrie-kurs.de und vertiefen Sie Ihr Wissen und die Kompetenz Ihres Assistenzpersonals mit unseren weiteren Kursangeboten:

#### "Anwenderkurs für medizinisches Assistenzpersonal"

Der Anwenderkurs für medizinisches Assistenzpersonal vermittelt medizinischen Fachangestellten an einem Tag das notwendige Rüstzeug, um Untersuchungen selbstständig durchführen und einen Messplatz kalibrieren und warten zu können. Nach kurzer theoretischer Einführung steht auch in diesem Kurs die praktische Ausbildung mittels "hands-on teaching" im Labor mit Live-Tests im Vordergrund.

Kursinformationen & Anmeldung unter www.spiroergometrie-kurs.de



1 Tag | Fr. 9:00 - 16:30 Uhr



#### Spiroergometrie-Führerschein Praxis – "from lab to field":

Im Mittelpunkt steht die erfolgreiche Anwendung der Spiroergometrie in der sportmedizinischen Praxis. Tipps & Tricks aus der Messpraxis im Spiroergometrielabor und erfolgreiche Gründung eines leistungsdiagnostischen Instituts.

Der 1,5tägige Praxiskurs nimmt Sie mit ins Labor und vertieft die Inhalte des Theoriekurses durch zwei Praxistests an Triathleten ("hands-on teaching") auf Rad- und Laufbandergometer sowie ausgewählten Sportlern und Krankheitsbildern. Vom Präventivpatienten über den Hobbyjogger bis zum IronMan-Triathleten: der Kurs vermittelt Ihnen hochaktuelles Wissen zur befundbezogenen Beratung und evidenzbasierten Trainings- und Ernährungsplanung im Praxisalltag. Auch die unternehmerischen Grundlagen zur erfolgreichen Gründung Ihres leistungsdiagnostischen oder präventivmedizinischen Instituts bzw. Praxisablegers werden vom Steuerrecht über Standesrecht und Präventionsgesetz bis zu Abrechnungsempfehlungen (GOÄ-Ziffernketten) und Behandlungsverträgen beleuchtet.

Der Kurs beginnt freitags um 14:00 Uhr und endet samstags um 17:00 Uhr, zwischen den einzelnen Sessions besteht Zeit zum Austausch mit den Referenten und anderen Anwendern sowie für Ihre persönlichen Fragen. Als Kursskript erhalten Sie auch hier ein exklusives vollfarbiges Buch mit allen Kursfolien und vielen Verweisen auf Primärliteratur, außerdem standardisierte Vorschläge für

Ebenso wie der Theoriekurs ist dieser Kurs je nach Bundesland des Kursortes 12-15 Punkten im Rahmen der Zertifizierung der Ärztlichen Fortbildung bewertet.

Behandlungsverträge mit GKV- und PKV-Patienten sowie

Abrechnungswege (GOÄ-Ziffernketten).



1,5 Tage | Fr. 14:00 - 19:00 Uhr + Sa. 9:00 - 17:00 Uhr



### Dr. Ralph Schomaker & Dr. Andreas Greiwing

- Tagungspräsidentschaft 2013 Jahrestagung der Arbeitsgemeinschaft Spiroergometrie
- Koautoren des "Kursbuches Spiroergometrie"
   (3. Auflage, 2015) Hrsg. Kroidl, Lehnigk et. al
- Lehrbeauftragte "Sportmedizin" im europäischen Postgraduiertenstudiengang "Master of Preventive Medicine" für Ärzte der Dresden International University







